

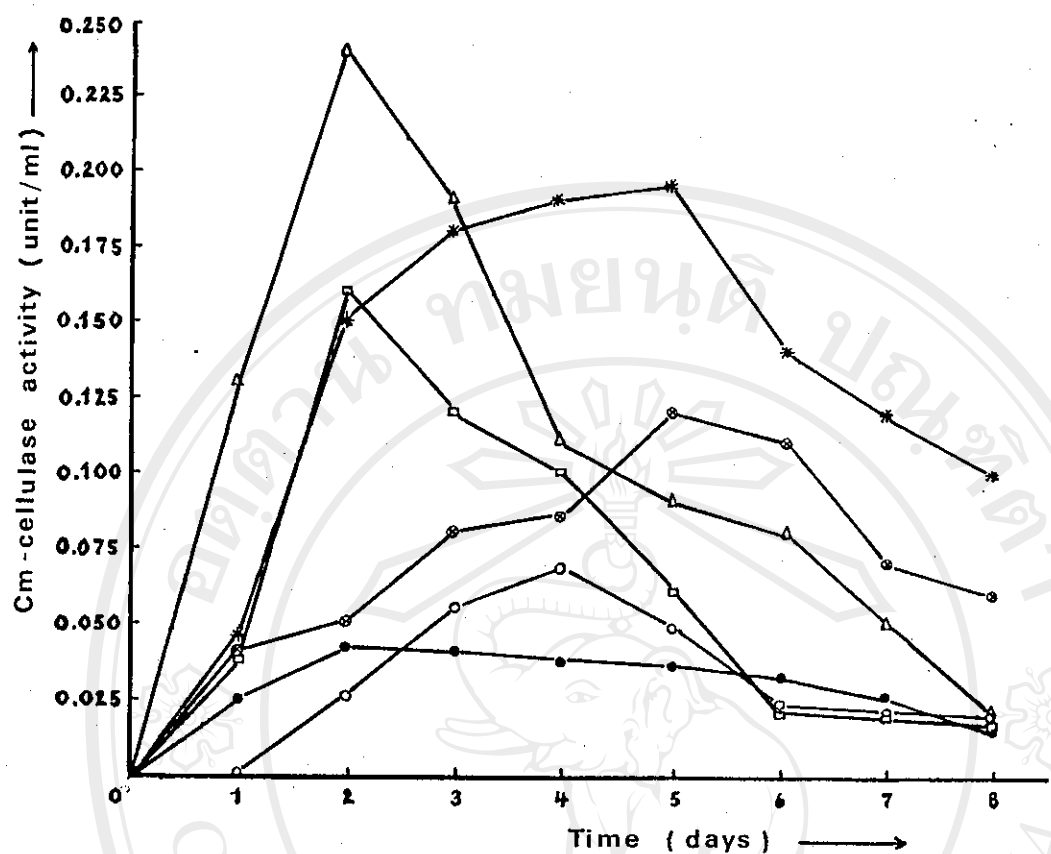
ผลการทดลอง

๓.๑ การหาสภาวะที่เหมาะสมในการผลิตเอ็นไซม์เซลลูโลสจากรา Trichoderma viride TISTR 3161

๓.๑.๑ ชนิดของอาหารและเวลาที่ใช้เลี้ยงเชื้อรา

จากการทดลองเลี้ยงเชื้อราในอาหารชนิดต่างๆ ณ เวลาที่แตกต่างกัน พบว่า อาหารที่เป็นกระดาษกรอง, ผงเซลลูโลส, Avicel เชื้อราไม่มีการเจริญเลย ส่วนฟางข้าว รามีการเจริญเล็กน้อยวัสดุปริมาณเอ็นไซม์ไม่ได้ สำหรับ รำข้าว, รำข้าว/ฟางข้าว, เปเลือกเมล็ดถั่วเหลือง, ชี้เดือย และในราบบักฟางส่วนก้านและก้านใบ เชื้อราสามารถเจริญได้ ซึ่งเมื่อวัสดุปริมาณเอ็นไซม์ในแต่ละ culture medium ให้ผลลัพธ์ดังในรูปที่ ๓.๑

จากรูปที่ ๓.๑ จะเห็นได้ว่า culture medium ที่เป็น รำข้าวและฟางข้าว อัตราส่วน ๙ : ๑ ให้เอ็นไซม์เซลลูโลสสูงที่สุดภายในเวลา ๒ วัน ในขณะที่ชี้เดือยให้เอ็นไซม์เซลลูโลสน้อยที่สุดเมื่อเทียบกับอาหารชนิดอื่นๆ แสดงว่าเชื้อรามีความสามารถย่อยเนื้อไม้ได้ไม่ดีนัก สำหรับในราบบักฟางส่วนก้านและส่วนก้านใบ ต้องใช้เวลามากกว่า ๒ วัน จึงจะสามารถผลิตเอ็นไซม์เซลลูโลส หง่านเนื่องจากในอาหารเหล่านี้ นอกจากจะประกอบด้วยเซลลูโลสแล้วยังมีดีกนินและสารพาก hemi-celluloses เป็นองค์ประกอบอยุ่มาก ส่วนรำข้าววันนี้ อาจจะเนื่องมาจากจับกันเป็นก้อนหนาแน่นเกินไปทำให้อาการถ่ายเท柙ภายในไม่สะดวก จึงให้เอ็นไซม์เซลลูโลสน้อยกว่ากรามีฟางข้าว/ฟางข้าว ซึ่งมีการถ่ายเท柙มากกว่า นอกจากนี้รำข้าวและฟางข้าวเป็นแพร่งของการร่อนได้ดีมาก (มีเซลลูโลสอยู่ในปริมาณสูง) เมื่อเทียบกับกรามีเปลือกเมล็ดถั่วเหลือง ซึ่งแม้ว่าเชื้อรามีการเจริญ (เป็นเส้นใยสีขาว) ได้มากที่สุด แต่เนื่องมาจากการมีแหล่งของไนโตรเจนสูง แท้มีการผลิตเอ็นไซม์ที่ยอมถ่ายเซลลูโลสโดยกระบวนการฟีโรก และกองไว้เวลานานกว่า (๔-๕ วัน) จึงจะให้ปริมาณเอ็นไซม์เซลลูโลสสูง กล่าวคือว่าอาหารที่เหมาะสมที่สุดในการเลี้ยงเชื้อรา คือ รำข้าวและฟางข้าว (๙ : ๑), เวลาที่ใช้เลี้ยงคือ ๒ วัน



รูปที่ 3.1 แสดงผลของอาหารชนิดต่าง ๆ และเวลาที่ใช้เจลลิงเชื้อร้า *Trichoderma viride* ในการยั่งເອົນໃໝ່ເຫັນເຫດລູໄສ
ปริมาณໜ້າທີ່ເຕີມລັງໃນອາຫາຣ 10 ມລ.

△ = กระเทียม + ฟางข้าวในอัตราส่วน 9 : 1

□ = กระเทียม

* = เบบี๊อกดົວ

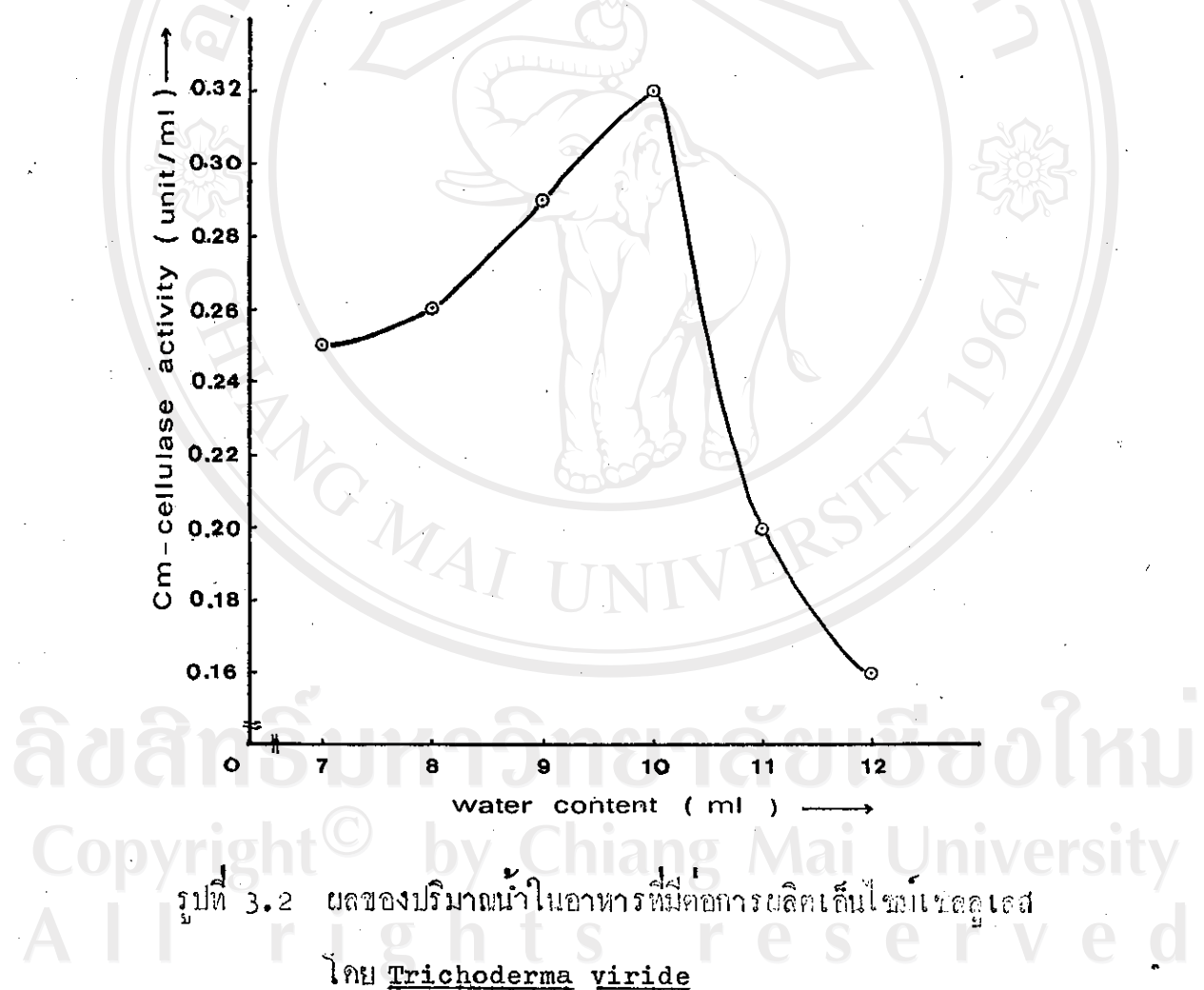
◻ = ใบยารานกิง + ใบ

○ = ใบยารานส่วนก้าน

● = ชาເລືອຍ

3.1.2 ปริมาณน้ำที่เหมาะสม

ปริมาณน้ำที่เหมาะสมที่สูงที่สุดที่เก็บลงไว้ในอาหาร (รากขาว+ผงข้าว) เพื่อให้ได้รีซินไน์เม็ดคุณภาพมากที่สุดคือ 10 มล. รังสรรค์การทดสอบแบบตั้งรูปที่ 3.2



3.1.3 ผลการเปลี่ยนแปลงสารที่ใช้สักคิเอ็นไน์เมซคลูเดส

จากการทดลองใช้ 0.05 M citrate buffer pH 4.8 ,
สารละลายน 0.5 M NaCl ในบัฟเฟอร์เดียว กัน และ 1% Tween 80 สักคิเอ็นไน์เมซคลูเดสออกจากอาหารไม่มากกว่ากรณีที่ใช้บัฟเฟอร์สักคิ และปริมาณเอ็นไน์เมซคลูเดสคิดเห็นได้จาก culture medium ผลการทดลองแสดงดังตารางที่ 3.1

ตารางที่ 3.1 แสดงผลของการสักคิเอ็นไน์เมซคลูเดสคิดเห็นสารชนิดต่าง ๆ

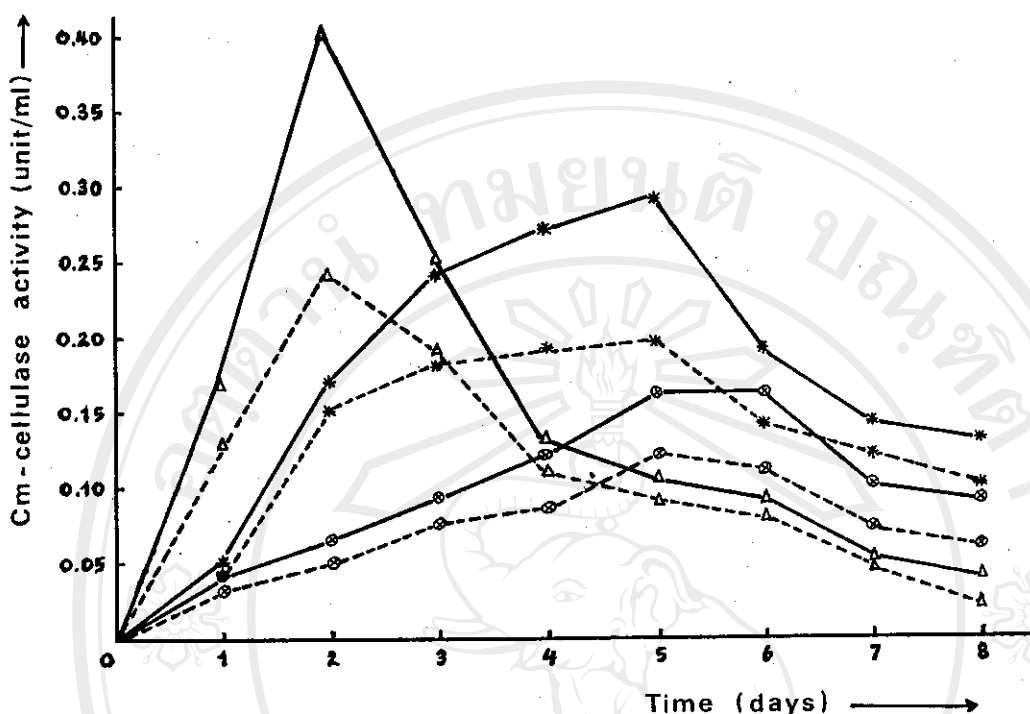
สารละลายน ที่ใช้สักคิ	mean OD ₅₅₀	mg glucose	cellulase activity (Unit /ml)
0.05 M citrate buffer pH 4.8	0.17	0.074	0.27
0.5 M NaCl	0.29	0.110	0.41
1% Tween 80	0.30	0.114	0.42

จากการที่ 3.1 จะเห็นว่า 0.5 M NaCl สามารถสักคิเอ็นไน์เมซคลูเดสออกจากอาหารไม่มากกว่ากรณีที่ใช้บัฟเฟอร์สักคิ และปริมาณเอ็นไน์เมซคลูเดสคิดเห็นได้กับค่าที่ใช้ 1% Tween 80 สักคิ

เมื่อทำการสักคิเอ็นไน์เมซคลูเดสจาก culture medium ที่เป็นรำข้าว พางข้าว เปลือกเมล็ดถั่วเหลือง และใบบาร์บีญส่วนกิ่งและใบ ที่อุณหภูมิ 27 °C.

เป็นเวลา 1-8 วัน ด้วย 0.5 M NaCl เปรียบเทียบกับที่สักคิคาย 0.05 M citrate buffer pH 4.8 พบร้า 0.5 M NaCl สามารถสักคิเอ็นไน์เมซคลูเดสออกจากอาหารไม่มากกว่าทุกกรณี ดังแสดงในรูปที่ 3.3

การที่ได้ activity ของเมซคลูเดสสูง เมื่อสักคิคาย 0.5 M NaCl หรือ 1% Tween 80 อาจเนื่องมาจากการทั้งสองนี้สามารถจะเอาเอ็นไน์เมซคลูเดสบางส่วนซึ่งจับอยู่บนผิวของเมซคลูเดสหรือบนเส้นใยของเชื้อราอ่อนมากได้กว่าที่ใช้บัฟเฟอร์สักคิ

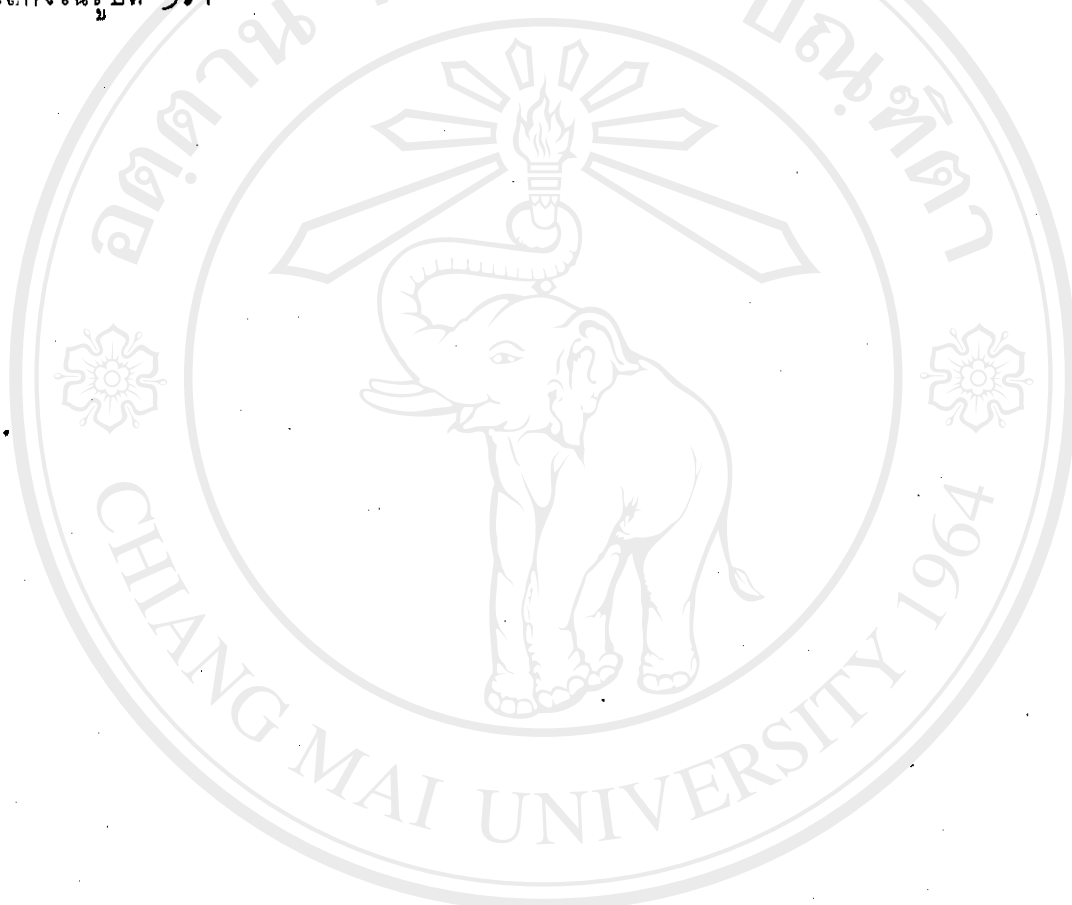


รูปที่ 3.3 แสดงผลของการสกัดเย็นใช้มีเชื้อคูลิสาจากอาหาร (รำข้าว/ฟางขาว,
เบล็อกเมล็ดถั่วเหลือง และในยารับยักษ์สวนกิงฟ์ใบ) ทราย 0.05 M
citrate buffer pH 4.8 และ 0.5 M NaCl ในบัฟเฟอร์เดียวทัน

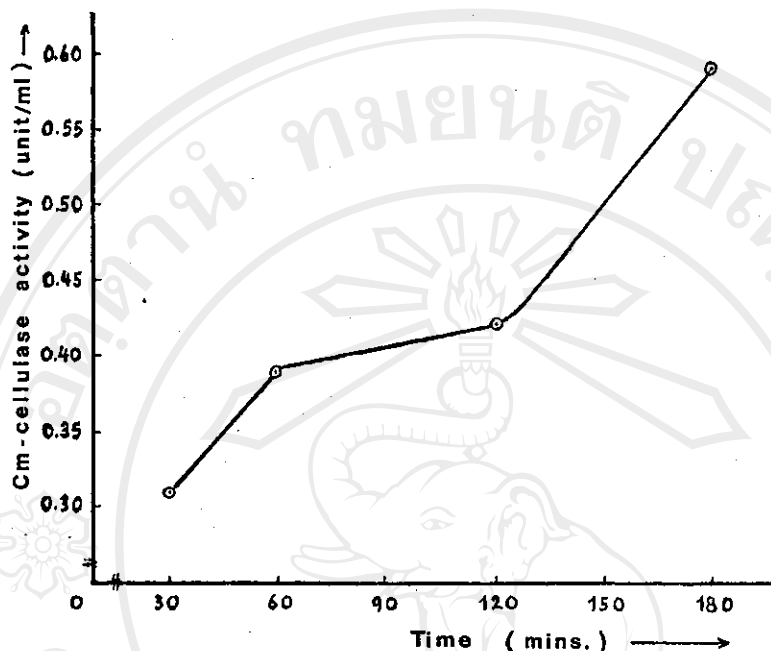
- Δ = รำข้าว/ฟางขาว (9 : 1)
- * = เบล็อกเมล็ดถั่วเหลือง
- = ในยารับยักษ์ใบ
- = สกัดทราย 0.05 M citrate buffer pH 4.8
- = สกัดทราย 0.5 M NaCl ใน 0.05 M citrate buffer pH 4.8

3.1.4 เวลาที่ใช้ในการสกัดเย็นในเม็ดเซลลูเลต

จากการทดลองพยุว่า เวลาที่ใช้ในการแช่ culture medium เพื่อสกัดเย็นในเม็ด เป็นเวลา 3 ชั่วโมงให้บริมาณเย็นในเม็ดเซลลูเลตสูงที่สุด ที่อุณหภูมิห้อง คั่งแสงกันในรูปที่ 3.4



ลิขสิทธิ์มหาวิทยาลัยเชียงใหม่
 Copyright © by Chiang Mai University
 All rights reserved



รูปที่ 3.4 แสดงปริมาณของเอนไซม์เซลลูเลสที่สกัดได้เมื่อแช่ใน
0.5 M NaCl ใน 0.05 M citrate buffer
pH 4.8 เป็นเวลา 30 นาที

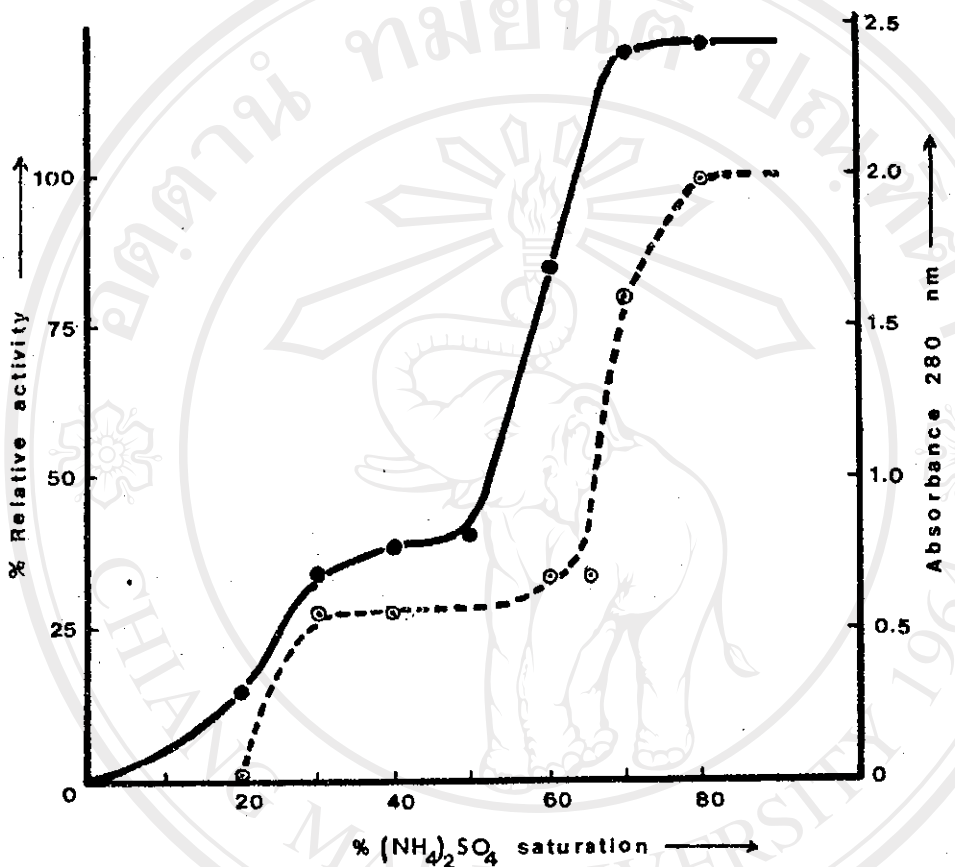
ลิขสิทธิ์มหาวิทยาลัยเชียงใหม่
Copyright © by Chiang Mai University
All rights reserved

จากรูปที่ 3.4 จะเห็นว่า เมื่อแขวculture medium ในระบบเวลาต้น ๆ (เช่น 30 หรือ 60 นาที) เอ็นไซม์ที่ไม่มีปฏิกิริยาอย อาจเนื่องมาจากการเข็นไขม์ที่เรื้อร่ายคลิคและปล่อยออกซูอาหารภายนอกนั้น บางส่วนจะติดกับโนเดกุลของเซลลูโลส ซึ่งถ้าแซะทิ้งไว้เป็นเวลานานขึ้นและมีการคนหรือกวนเป็นระยะ; เอ็นไซม์เซลลูโลสที่เกาะอยู่นั้นก็จะมีโอกาสหลุดออกสู่สารละลายที่สักได้มาก

3.2 การเตรียมเอ็นไซม์เซลลูโลส I และ II และการทำให้ริสุทธิ์

3.2.1 การตกตะกอนด้วย $(NH_4)_2SO_4$ อิมตัว

จากการทดลองหากความเข้มข้นอิมตัวที่เหมาะสมของ $(NH_4)_2SO_4$ พย ว่า เอ็นไซม์เซลลูโลสที่ตกตะกอนลงมาเพียงเล็กน้อยที่ 20 % หรือ 30 % อิมตัว $(NH_4)_2SO_4$ และตกตะกอนลงมากที่ 80 % อิมตัว $(NH_4)_2SO_4$ คงแสดงในรูปที่ 3.5 ดังนั้นความเข้มข้นอิมตัวที่เหมาะสมในการตกตะกอนโปรดตั้งหรือเอ็นไซม์คือ 30-80 % อิมตัว $(NH_4)_2SO_4$



รูปที่ 3.5 แสดงค่าการถูกกลืนแสงที่ 280 นาโนเมตร และ activity ของเอนไซม์เซลลูเลสท์ความเข้มข้นอัมตัวทang ๆ กัน

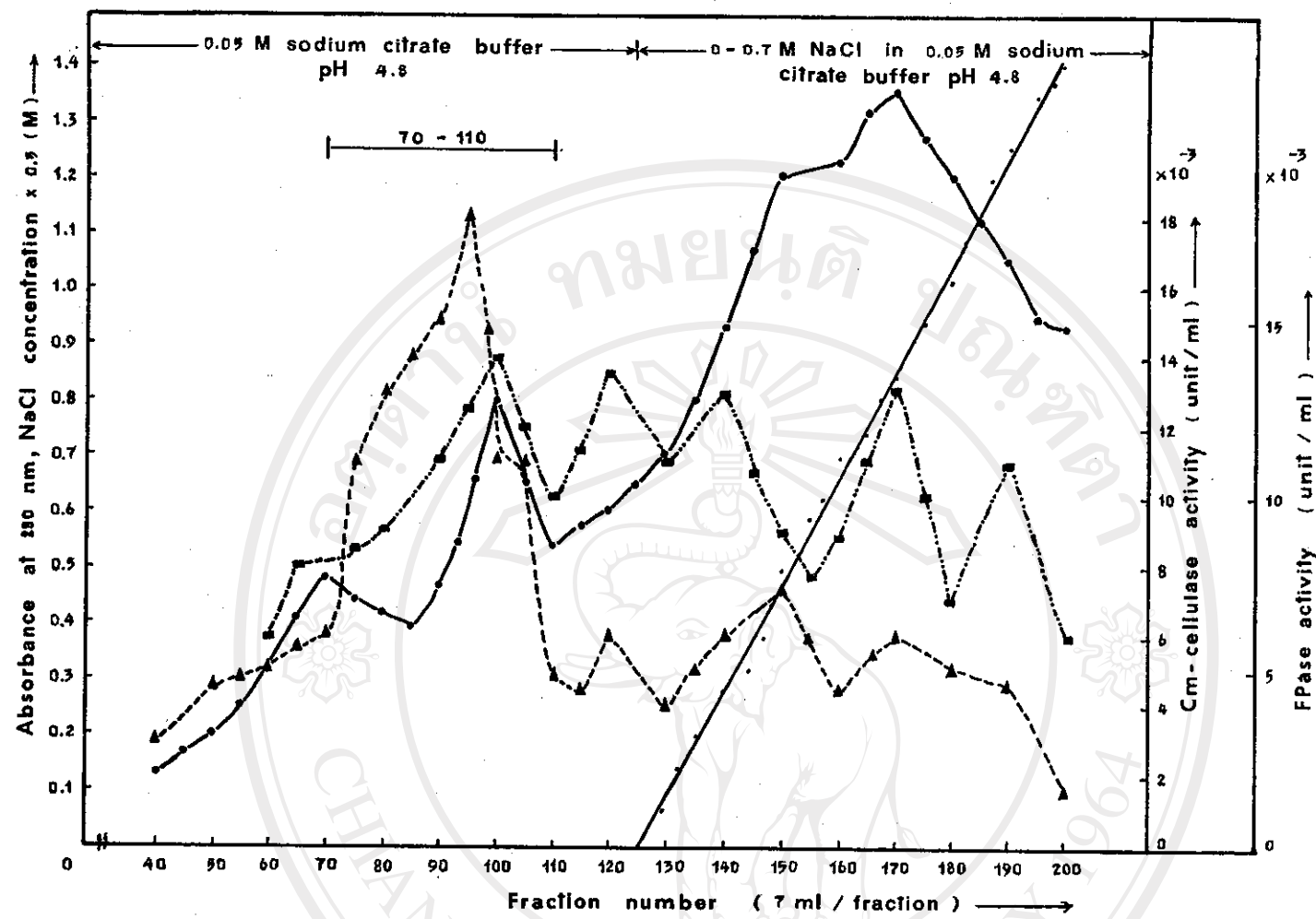
Copyright © Chiang Mai University
All rights reserved

3.2.2 การเตรียมเอ็นไซม์เซลลูเลส I ให้บริสุทธิ์โดยผ่าน DEAE-Sephadex

A-50 column

จากการนำสารละลายเอ็นไซม์ (800 มล.) ที่ได้จากการตقطะกอนด้วย 30-80 % อิมฟ์ $(\text{NH}_4)_2 \text{SO}_4$ และ desalt ด้วย Sephadex G-25 column แล้วมาผ่านลงใน DEAE-Sephadex A-50 column ขนาด 4.5 + 45 มม. ทำการ elute สารออกจากการคลั่นด้วย 0.05 M citrate buffer pH 4.8-0.7 M NaCl ในบีฟเพอร์เดียกน (แบบ linear concentration gradient) อัตราเร็วของสารละลายที่ไหลออกเป็น 130 มล./ชม. เก็บสารละลายที่ออกจากคอลัมน์ เป็นหลอดๆละ 7 มล. นำไปรักษาในปรีศีนโดยวัดการดูดกลืนแสงที่ 280 นาโนเมตร และทำการหา activity ของเอ็นไซม์เซลลูเลสก่อ CMC และ FP ในแต่ละหลอด ได้ผลแพลงคั่งรูปที่ 3.6

จากรูปที่ 3.6 จะเห็นว่าเอ็นไซม์เซลลูเลสแบบจะไม่จับกับ DEAE-Sephadex เลย ส่วนใหญ่จะถูก elute ออกจากคอลัมน์โดย 0.05 M citrate buffer pH 4.8 การที่เป็นเช่นนี้อาจเนื่องมาจาก pH ที่ใช้ในการ bind อาจไม่เหมาะสม เอ็นไซม์เซลลูเลส จึงมีลักษณะไม่เหมาะสมที่จะจับกับ DEAE-Sephadex แต่ก็มีบางส่วนจับกับ DEAE-Sephadex



รูป 3.6 Ion-exchange Chromatography on DEAE-Sephadex A-50 of crude enzyme after $(\text{NH}_4)_2\text{SO}_4$ precipitation.

Sample : 800 ml

Column dimension : 4.5 x 45 cm.

Flow rate : 130 ml./hr.

Elution : Linear concentration gradient (0-0.7 M NaCl in 0.05 M citrate buffer pH 4.8)

●—●, Absorbance at 280 nm; ▲—▲, Cm-cellulase activity;
■—■, FPase activity.

3.2.3 การเตรียมเอ็นไซม์เซลลูเลส I ในเบริสท์โดยผ่าน Sephadex G-100

column

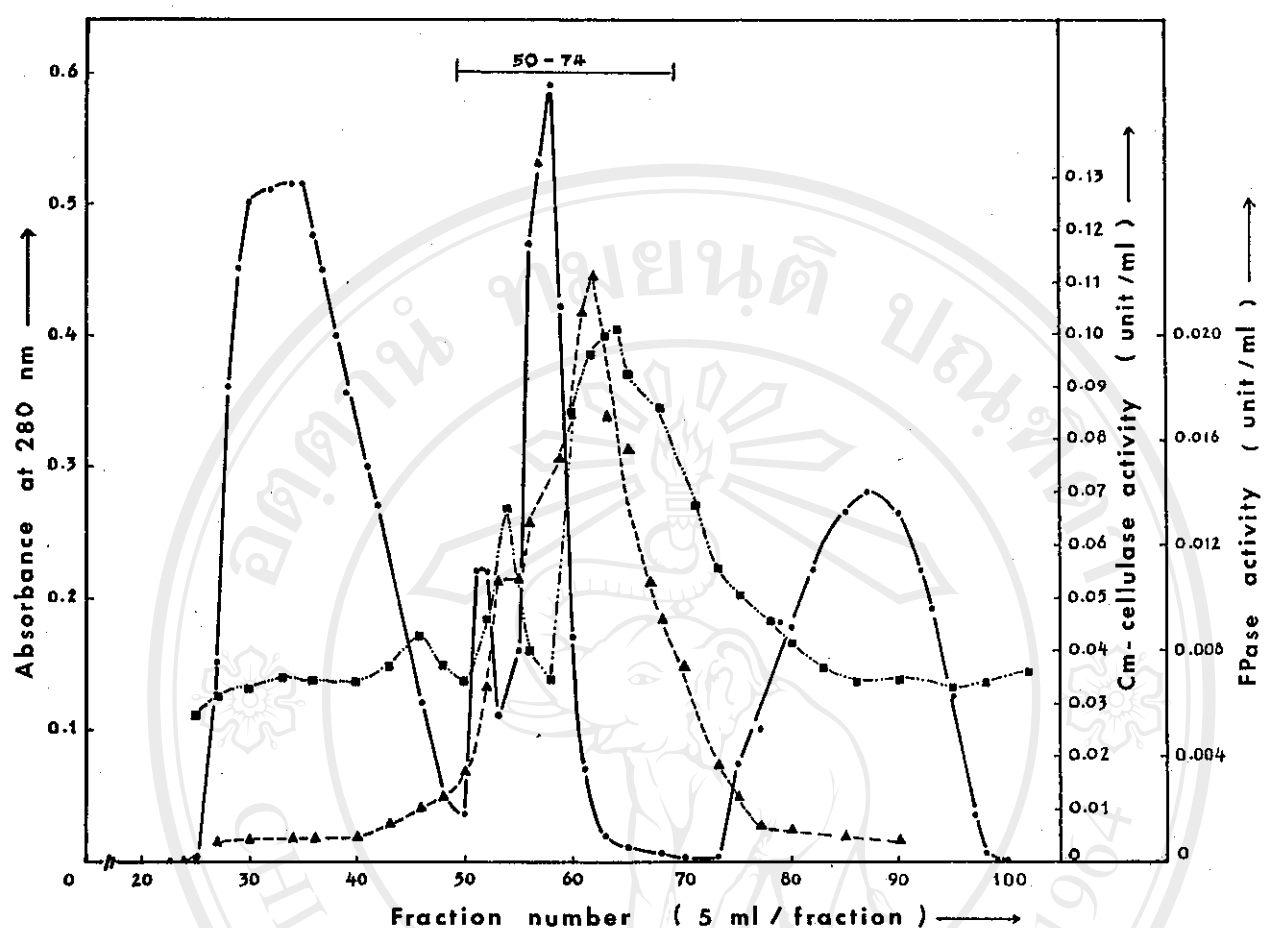
จากการนำสารละลาย (หลอดที่ 70-110) ซึ่งมี activity ต่อ CMC ที่ได้จาก DEAE-Sephadex A-50 column มาผ่าน Sephadex G-100 column ขนาด 3.0×65 ซม. ทำการ elute สารออกจากคอลัมน์ด้วย 0.05 M citrate buffer pH 5.0 อัตราเร็วของสารละลายที่ออกจากคอลัมน์ = 75 มล./ชม. เก็บสารละลายที่ออกมานเป็นหลอด ๆ ละ 5 มล. นำไปวัดการดูดกลืนแสงที่ 280 นาโนเมตร และวัด activity ของเอ็นไซม์เซลลูเลส ไคลอติงแสกงในรูปที่ 3.7

3.2.4 การเตรียมเอ็นไซม์เซลลูเลส I ในเบริสท์โดยผ่าน DEAE-Sephadex

A-50 column อีกครั้ง

จากการนำสารละลายส่วนที่มี activity ต่อ CMC (50-74) ที่ได้จาก Sephadex G-100 column จำนวน 213 มล. มาผ่าน DEAE-Sephadex A-50 column ขนาด 4.5×35 ซม. อีกครั้ง ทำการชะลีนไซม์ด้วย 0.05 M NaCl ใน 0.05 M citrate buffer pH 5.8 อัตราเร็วของสารละลายที่ออกจากคอลัมน์ 35 มล./ชม. เก็บสารละลายหลอดละ 7 มล. นำมาวัดการดูดกลืนแสงที่ 280 นาโนเมตร และวัด activity ของเอ็นไซม์เซลลูเลส ไคลอติงรูปที่ 3.8

จากรูปที่ 3.8 พบว่าเอ็นไซม์เซลลูเลสจับกับ DEAE-Sephadex ด้วยแรงที่อ่อนมากซึ่งเมื่อ elute ด้วย NaCl ความเข้มข้นเพียง 0.02 M เอ็นไซม์ก็เริ่มออกมารจากคอลัมน์แล้วและแสง pH ที่เหมาะสมในการจับระหว่างเอ็นไซม์กับ DEAE กับเจด ออยในช่วงก่อนไปทางด้านเอ็นไซม์ที่ไหนยังไม่บริสุทธิ์นัก จึงนำไปผ่าน Sephadex G-100 column ต่อไป



รูปที่ 3.7 Molecular-sieve chromatography on Sephadex G-100 of the fractions from DEAE-Sephadex chromatography.

Sample : 16 ml

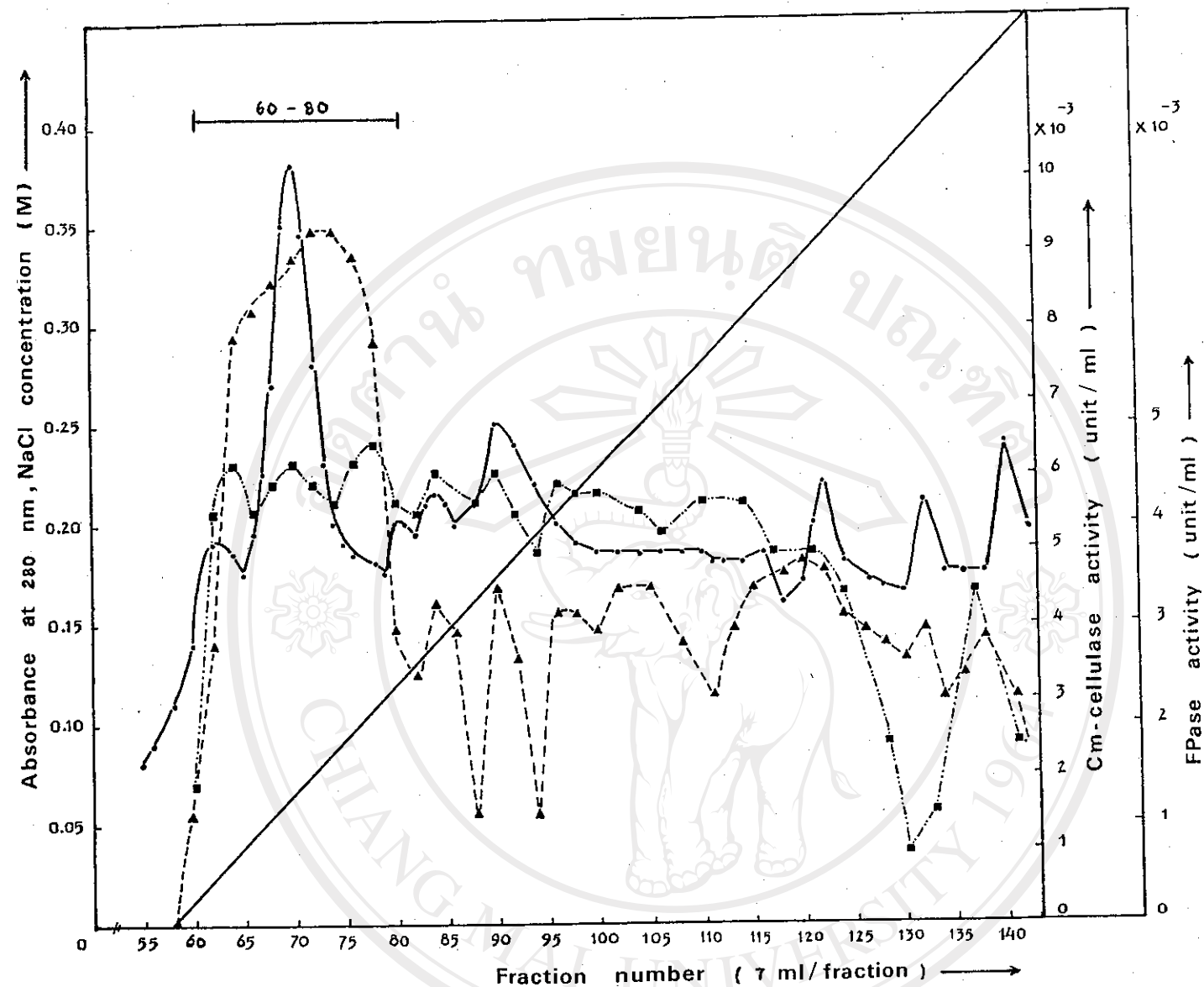
Column dimension : 3.0 x 65 cm.

Flow rate : 75 ml./hr.

Eluent : 0.05 M sodium citrate buffer pH 5.0

—●—, Absorbance at 280 nm; ▲----▲, Cm-cellulase activity;

■----■, FPase activity.



รูป 3.8 Ion-exchange chromatography on DEAE-Sephadex A-50 of the fractions from Sephadex G-100 chromatography.

Sample : 213 ml

Column dimension : 4.5 x 31 cm.

Flow rate : 35 ml./hr.

Elution : Linear concentration gradient by increase in NaCl concentration from 0-0.5 M.

—●—, Absorbance at 280 nm; ▲----▲, Cm-cellulase activity;

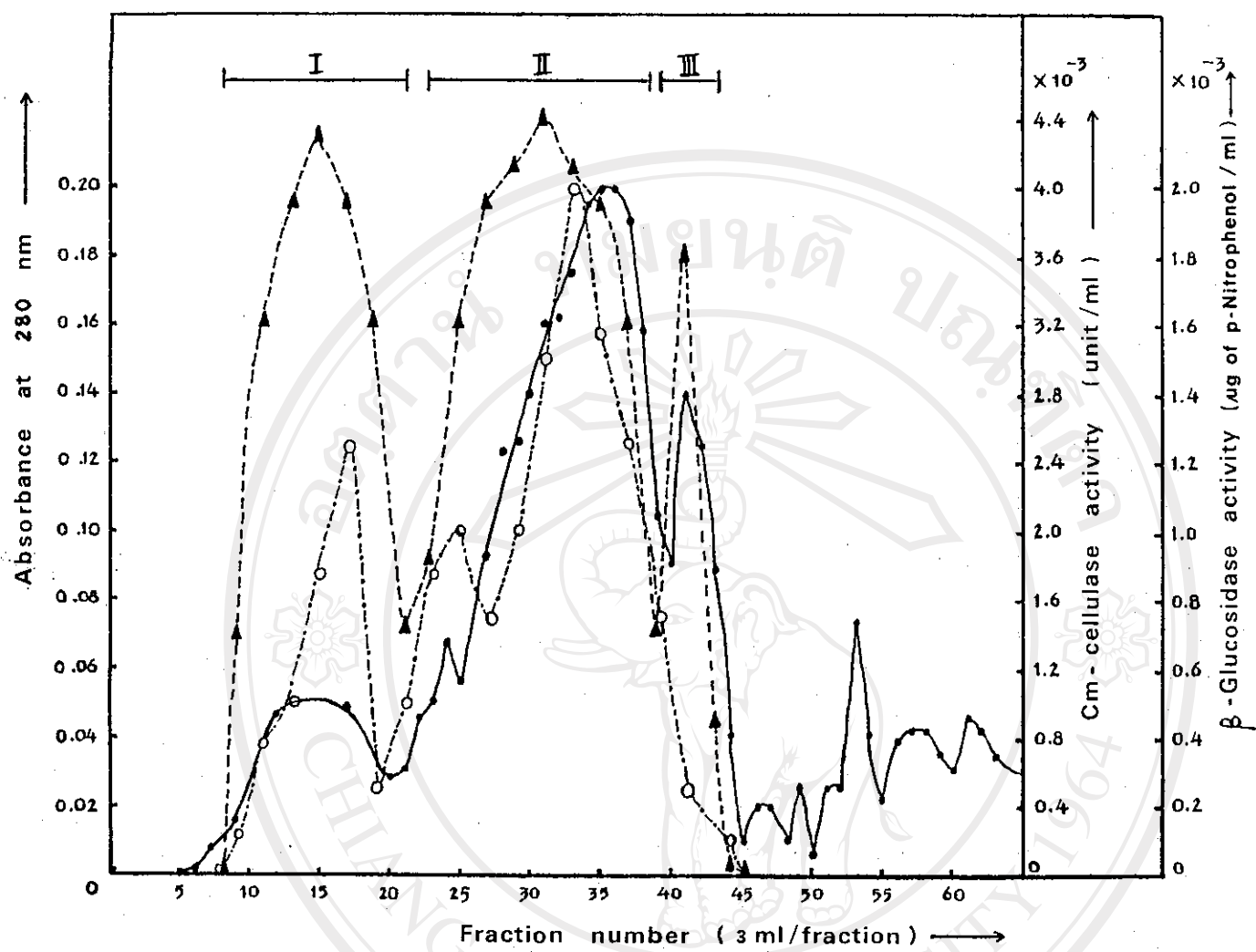
■---■, FPase activity.

3.2.5 การเตรียมเอ็นไซม์เซลลูเลส I ในบริสุทธิ์โดยผ่าน Sephadex

G-200 column

จากการนำเอ็นไซม์ที่มี activity ต่อ CMC จาก DEAE-Sephadex A-50 column (หลอดที่ 60-80) ละลายในน้ำพาร์เซอร์ จำนวน 2 มล. ณาผ่าน Sephadex G-200 column ขนาด 1.6x 45 ซม. ทำการ elute เอ็นไซม์ออก จาก colum ด้วย 0.05 M citrate buffer pH 5.0 เก็บสารละลายที่ออกมากหลังคละ 3 มล. อัตราเร็วของสารละลายที่ออกจาก colum 5.2 มล./ชม. นำไปรักปริมาณโปรตีน, activity ของเอ็นไซม์เซลลูเลส และ β -glucosidase ไก่ผัดลงในรูปที่ 3.9

จากรูปที่ 3.9, จะเห็นว่า เมื่อผ่านสารละลายเอ็นไซม์ลงไปใน Sephadex G-200 column, เอ็นไซม์เซลลูเลสถูกแยกออกเป็น 3 ส่วนใหญ่ ๆ: ส่วน I, peaks ของ activity ของเซลลูเลสต่อ CMC, ของ β -glucosidase และปริมาณโปรตีนซึ่งเป็น peak เดียว ๆ สมัยกันในแนวเดียวกัน ในขณะที่ ส่วน II ประกอบด้วย peak ของโปรตีน ซึ่งมีอย่างน้อย 2 peak ในสมัยกันกับ peak ของ activity เซลลูเลส ส่วนที่ III มี activity ของ เซลลูเลสไม่สูงนัก คันธันจิ้งเก็บสารละลายส่วน I (fraction 9-20) นำไปทำการคีกษาคุณสมบัติทาง ๆ ท่อไป และให้ชื่อเอ็นไซม์เซลลูเลสส่วนนี้เป็น "เอ็นไซม์เซลลูเลส I"



รูปที่ 3.9 Molecular-sieve chromatography on Sephadex G-200 of the fractions from DEAE-Sephadex A-50 chromatography .

Sample : 2 ml

Column dimension : 1.6 x 45 cm.

Flow rate : 5.2 ml./hr.

Eluent : 0.05 M citrate buffer pH 5.0

—, Absorbance at 280 nm; ▲—▲, Cm-cellulase activity;
 ○—○, β -glucosidase.

3.2.6 การเตรียมเอ็นไซม์เซลลูเลส II ให้บริสุทธิ์โดยผ่าน DEAE-Sephadex

A-50 column

หลังจากตากตะกอนด้วย 30-80 % อิมต้า ($(\text{NH}_4)_2\text{SO}_4$) และ desalt และใส่สารละลายเอ็นไซม์ 200 มล. นำเข้าผ่าน DEAE-Sephadex A-50 column ขนาด 4.5×35 ซม. ทำการซับพาเอ็นไซม์ให้ออกจาก colum คอลัมน์ด้วยอัตราเร็ว 45 มล./ชม. โดยใช้ linear gradient ของ 0-0.8 M NaCl ใน 25 mM Tris-HCl buffer pH 7.5 เก็บสารละลายเป็นหลอด ๆ ละ 7 มล. นำไปวัดการถูกดูดลึกลงที่ 280 นาโนเมตร วัด activity ของเอ็นไซม์เซลลูเลสและ β -glucosidase ให้ลดลงในรูปที่

3.10

พบว่ามีเอ็นไซม์เซลลูเลสบาง form ในจังหวะ DEAE-Sephadex (ส่วน II) เอ็นไซม์เซลลูเลสบาง form ถูกจับกับเจล ซึ่งต้อง elute ด้วย NaCl ในความเข้มข้นแตกต่างกัน (ส่วน III + IV) (รูปที่ 3.10) เมื่อจากส่วน II ประภากับด้วยเซลลูเลสอย่างน้อย 4 form และ β -glucosidase activity สูงมาก ซึ่งกานำไปทำให้บริสุทธิ์ทองใช้ขั้นตอนอีกมากเป็นการลื้นเปลืองเวลา ส่วน III มี activity ของเซลลูเลสทำ จึงเลือกสารละลายเอ็นไซม์ส่วน IV (240-260) ซึ่งประกอบด้วย activity ของเซลลูเลสเป็น peak เกี่ยว มี β -glucosidase activity อุ้ยเที่ยง เล็กน้อย นำไปทำให้บริสุทธิ์ในขั้นตอนไป

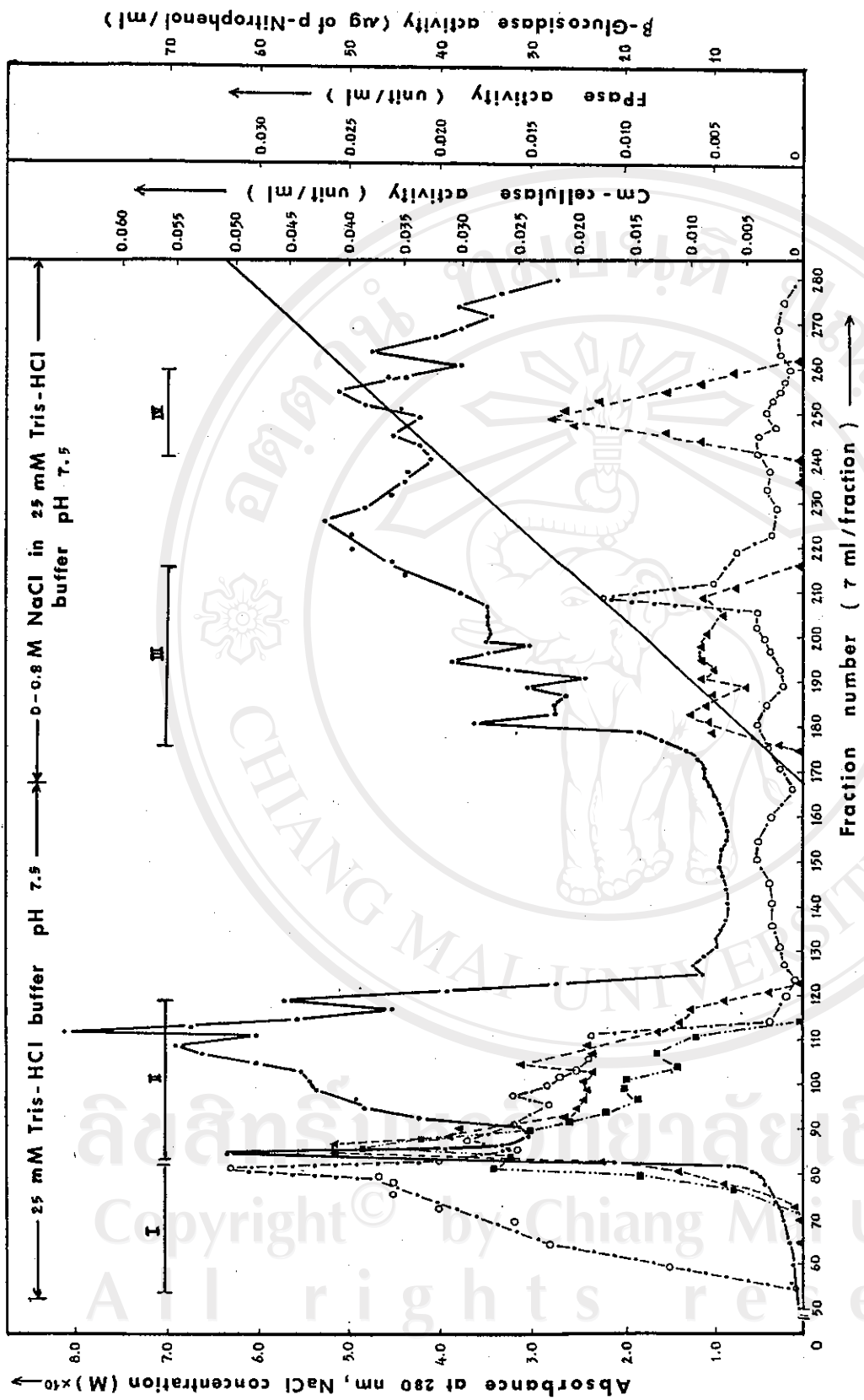


Fig. 3.10 Ion-exchange chromatography on DEAE-Sephadex A-50 of crude extract from $(\text{NH}_4)_2\text{SO}_4$ precipitation

Sample : 200 ml. Column dimension : 4.5 x 35 cm. Flow rate : 45 ml./hr.

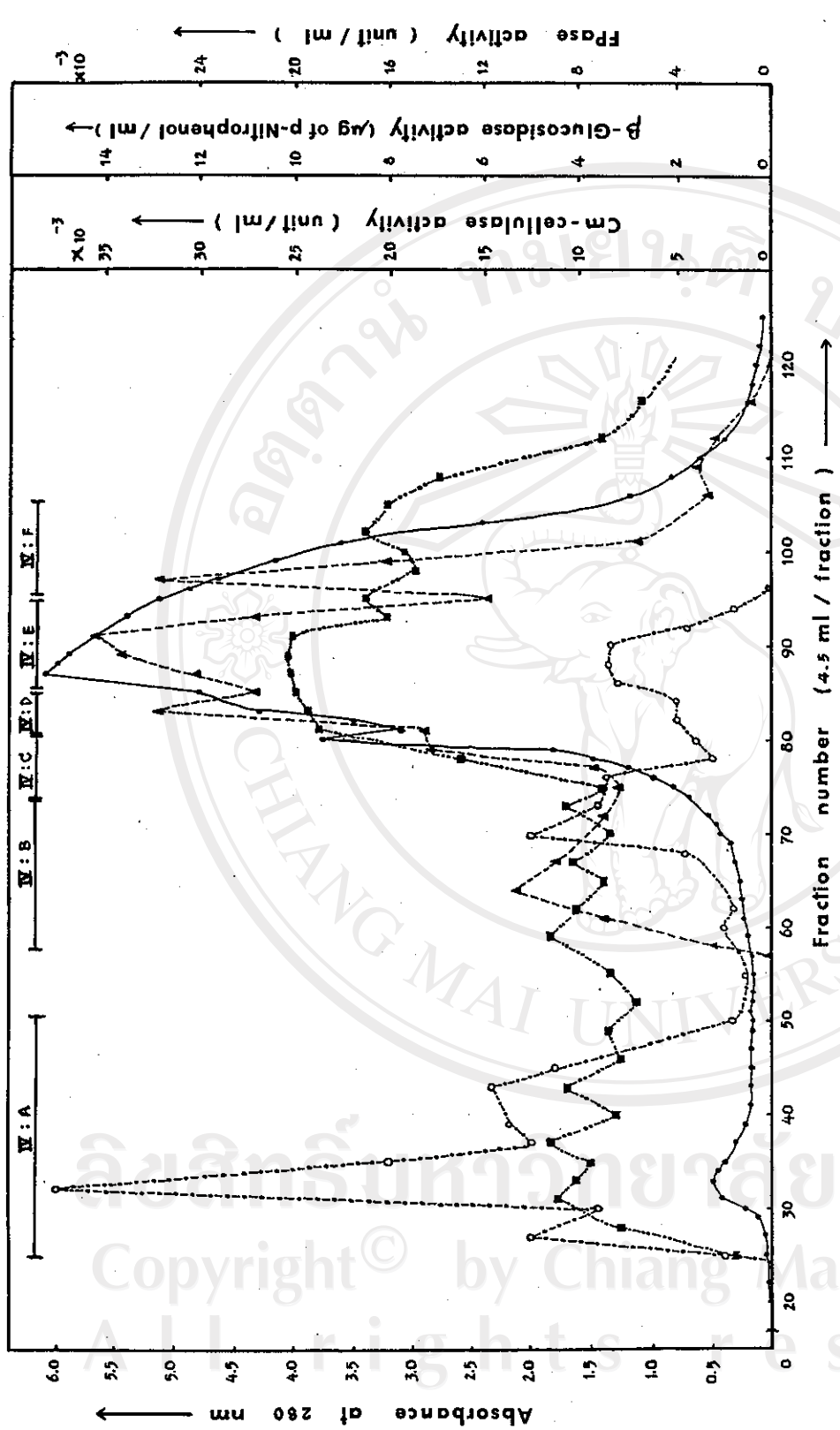
Elution : Linear concentration gradient by increase in NaCl concentration from 0-0.8 M
 —●—, Absorbance at 280 nm; ▲—▲—, Cm-cellulase activity; ■—■—, FPase activity;
 ○—○—, β -glucosidase activity.

3.2.7 การเตรียมเย็นไขม์เซลลูโลส II ให้บริสุทธิ์โดยผ่าน Sephadex

G-100 column

จากการนำสารละลายส่วน IV (หลอดที่ 240-260) ที่ได้จาก DEAE-Sephadex A-50 มาผ่านลงใน Sephadex G-100 column ขนาด 3.0 x 60 ซม. ทำการ elute เอ็นไซม์ออกจากการคลุมด้วยอัตราเร็ว 25 มล./ชม. โดยใช้ 0.05 M citrate buffer pH 5.0 เก็บสารละลายหลอดละ 4.5 มล. เป็นจำนวน 130 หลอด นำสารละลายที่เก็บได้ไปวัดการดูดกลืนแสงที่ 280 นาโนเมตร, activity ของเอ็นไซม์เซลลูโลสและเอ็นไซม์ β -glucosidase ให้ผลค่าคงแสดงในรูปที่ 3.11

จากรูปที่ 3.11 พบว่า β -glucosidase activity เกือบจะแยกออกจากเอ็นไซม์เซลลูโลสโดยเด็ดขาด แบ่งสารละลายออกเป็นส่วน ๆ ได้ 6 ส่วน เอ็นไซม์เซลลูโลสประกอบด้วย form ช่องแทะ form ประกอบด้วย activity ต่อ CMC ต่อ FP และบาง form มี activity ของ β -glucosidase อยู่ด้วย (IB : B, IV : E) เนื่องจากส่วน IV : E ประกอบด้วยโปรตีนปริมาณสูงที่สุด และ activity ของเซลลูโลสต่อ CMC และ FP ถูกหักดูด กั้นน้ำจึงเลือกเอาส่วน IV : E นำไปศึกษาทดสอบการทำให้บริสุทธิ์อีกขั้นหนึ่ง เพื่อพิสูจน์ว่า β -glucosidase activity ที่มีอยู่นั้น อยู่ใน cellulase activity จริง ๆ หรือเป็นอีก form หนึ่งของเอ็นไซม์ β -glucosidase ซึ่งยังไม่แยกออก

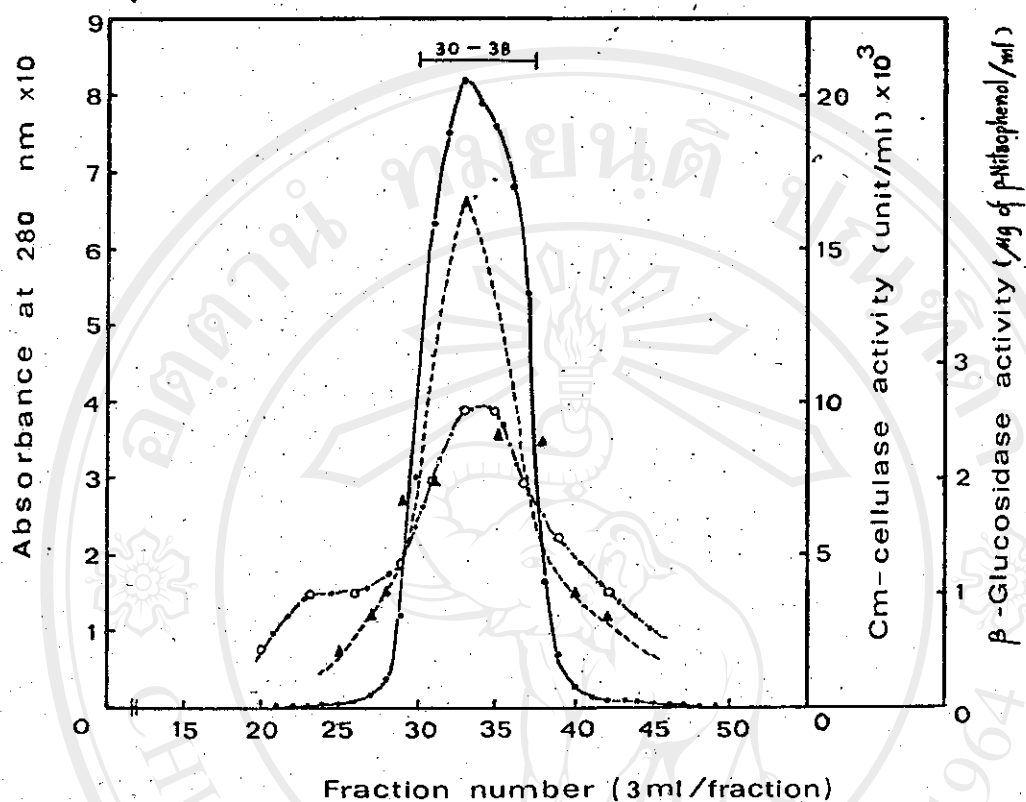


3.11 Molecular-sieve chromatography on Sephadex G-100 of the fraction IV from DEAE-Sephadex A-50 chromatography.
 Sample : 20 ml. Column dimension : 3.0 x 60 cm. Flow rate : 25 ml./hr.
 Eluent : 0.05 M citrate buffer pH 5.0
 —○—, Absorbance at 280 nm; ▲----▲, Cm-Cellulase activity; -----, FPass activity;
 ○----○, β -glucosidase activity.

3.2.8 การเตรียมเอ็นไซม์ใหม่บริสุทธิ์โดยผ่าน Sephadex G-200 column

จากการนำสารละลายส่วน IV : E ที่ได้จาก Sephadex G-100 column มาผ่านลงใน Sephadex G-200 column ขนาด 1.6×45 ซม. ทำการ elute เอ็นไซม์ให้ออกจาก colum ด้วยอัตราเร็ว 5.1 มล./ชม. โดยใช้ 0.05 M citrate buffer pH 5.0 เก็บสารละลายที่ออกมามีผลต่อ activity ของเอ็นไซม์ที่ต้องการเป็นหลอด ๆ ละ 3.0 มล. เป็นจำนวน 30 หลอด และนำไปวัดการดูดกลืนแสงที่ 280 นาโนเมตร , activity ของเอ็นไซม์เซลลูโลสและ activity ของเอ็นไซม์ β -glucosidase ในผลตั้งรูปที่ 3.12

จากรูปที่ 3.12 จะเห็นว่า peak ของ activity ของเบลดูลูโลส สมนัยกับ peak ของการดูดกลืนแสงที่ 280 นาโนเมตร และ β -glucosidase activity ไปในแนวเดียวกัน นั้นแสดงว่าเอ็นไซม์เซลลูโลสที่เตรียมใหม่นับบริสุทธิ์ และมี β -glucosidase activity อยู่ในตัวมันเอง นอกจากนี้ activity ที่ CMC และ FP ให้ชื่อเอ็นไซม์เซลลูโลส form นี้ว่า "เอ็นไซม์เซลลูโลส II"



รูปที่ 3.12 Molecular-sieve chromatography on Sephadex G-200
of fraction IV : E from Sephadex G-100 chromatography.

Sample : 3 ml

Column dimension : 1.6 x 45 cm.

Flow rate : 5.1 ml./hr.

Eluent : 0.05 M citrate buffer pH 5.0

—, Absorbance at 280 nm; ▲---▲, Cm-cellulase activity;
○---○, β-glucosidase activity.

3.2.9 สรุปผลของการเตรียมเย็นไขม์เซลลูเลส I และ II

ผลการเตรียมเย็นไขม์เซลลูเลส I และ II ทั้งหมด แสดงคังตารางที่ 3.2

ตาราง 3.3

ตารางที่ 3.2 ผลการเตรียมเย็นไขม์เซลลูเลส I จากเชื้อรา Trichoderma viride สายพันธุ์ TISTR 3161

Fraction	Volume (ml)	Total protein (mg)	Total activity (units)	specific activity (unit/mg protein)	Purification (fold)
crude extract	6,000	407,760	1,998	4.9×10^{-3}	1
30-80% satd.	800	184,000	960	5.2×10^{-3}	1.1
$(\text{NH}_4)_2\text{SO}_4$					
DEAE-Sephadex A-50	360	590	16	2.7×10^{-2}	5.5
Sephadex G-100	213	74.6	6.4	8.4×10^{-2}	17
DEAE-Sephadex A-50	100	70	6.0	8.5×10^{-2}	17.3
Sephadex G-200	2	1.3	0.15	11.5×10^{-2}	23.4

Copyright © by Chiang Mai University
All rights reserved

ตารางที่ 3.3 ผลการเตรียมเอ็นไซม์เซลลูเลส II จากเชื้อร้า *Trichoderma viride* สลายพัฟฟ์ TISTR 3161

Fraction	Volume (ml)	Total protein (mg)	Total activity (units)	Specific activity (unit/mg)	Purification (fold)
crude extract	6,000	200,000	222	1.1×10^{-3}	1
30-80% satd. $(\text{NH}_4)_2\text{SO}_4$	200	8,680	27.0	3.1×10^{-3}	2.8
DEAE-Sephadex A-50(IV)	20	340	1.4	4.1×10^{-3}	3.7
Sephadex G-100 (IV : E)	3	28.4	0.55	1.9×10^{-2}	17.3
Sephadex G-200	3	4.8	0.11	2.3×10^{-2}	20.9

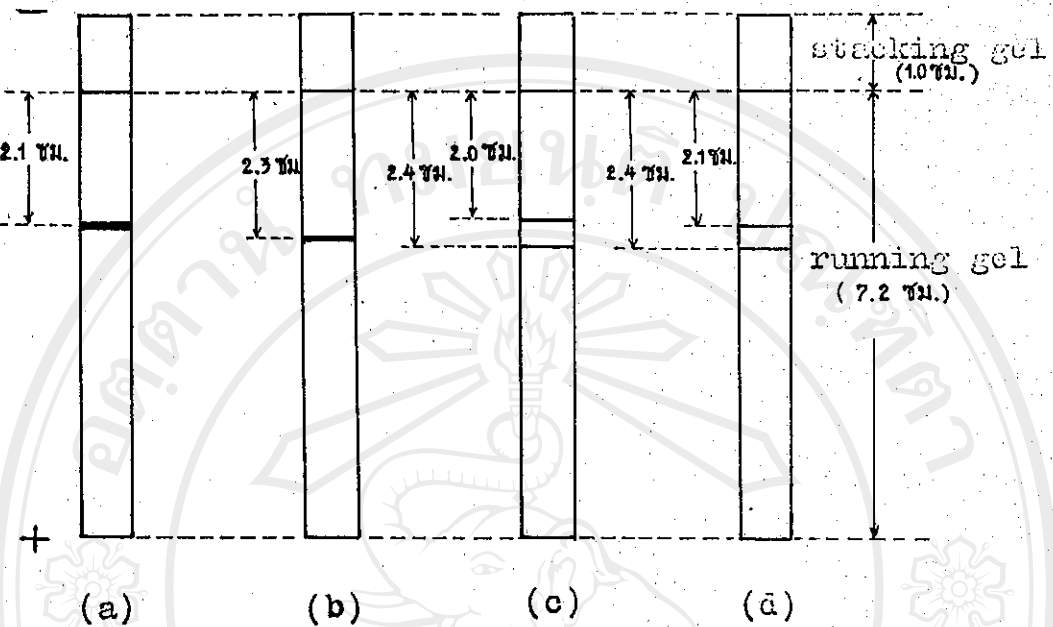
3.3 ผลการตรวจสอบความบริสุทธิ์ของเอ็นไซม์เซลลูเลส I และ II ที่เตรียมได้

3.3.1 Polyacrylamide-disc-gel electrophoresis

จากการนำเอ็นไซม์เซลลูเลส I และ II มาทำ disc-gel electrophoresis ที่ pH 8.6 ใช้กราฟฟ์ไฟฟ้า 3.5 มิลลิแอมป์ร์ต่อหนึ่งหลอด พนวนาเอ็นไซม์เซลลูเลส I และ II ต่างให้ไปรีตินแอกซ์เดีย แสดงว่าเอ็นไซม์เซลลูเลสทั้ง 2 form บวิสุทธิ์ (ดูรูปที่ 3.13 (a) และ (b))

3.3.2 SDS-polyacrylamide-disc-gel electrophoresis

หลังจากนำเอ็นไซม์เซลลูเลส I และ II มาทำ SDS-polyacrylamide-disc-gel electrophoresis โดยใช้กราฟฟ์ไฟฟ้า 1.5 มิลลิแอมป์ร์ต่อหนึ่งหลอด พนวนาให้ 2 band ทั้งในกรณีเซลลูเลส I และ II คั่งในรูปที่ 3.13 (c) และ (d)



รูปที่ 3.13 แม่กงบดีของ polyacrylamide gel electrophoresis นัก

(a) cellulase I

(b) cellulase II

: SDS-polyacrylamide gel electrophoresis นัก

(c) cellulase I

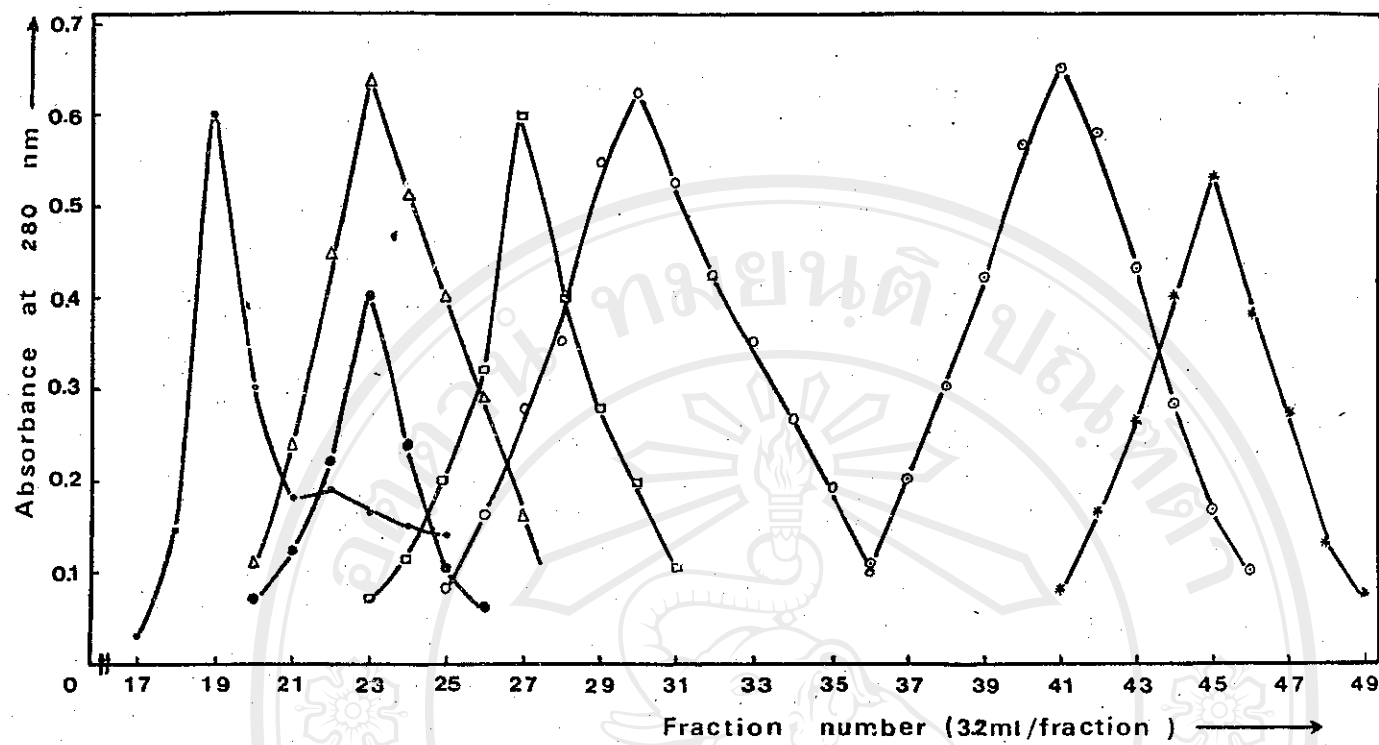
(d) cellulase II

โนเมเลกุลเอ็นไซม์เซลลูโลส I และ II มาจะประกอบด้วย subunits ที่เป็น dimer หรือ tetramer ก็ได้ เมื่อพิจารณาจากรูปที่ 3.13 (a), (b) (c) และ (d) ซึ่งสามารถทดสอบว่าเป็น dimer หรือ tetramer ได้โดย การหามวลโนเมเลกุลของเอ็นไซม์เซลลูโลสทั้งสองและมวลโนเมเลกุลของ subunits ของเซลลูโลสทั้งสองเปรียบเทียบเทียบกัน

3.4 ผลการศึกษาคุณสมบัติทางประการของเอ็นไซม์เซลลูโลสทั้งสองที่ทรีมได้

3.4.1 ผลการหามวลโนเมเลกุลของเอ็นไซม์เซลลูโลส I และ II

3.4.1.1 จากการผ่าน protein markers คือ catalase (20 มก.), alddase (20 มก.), BSA (20 มก.) และ ovalbumin (18 มก.) และผ่าน เซลลูโลส I (85 มก.) และเซลลูโลส II (80 มก.) ลงใน Sepharose 6B column (2.4 + 40 ช.m.) ให้ผลแสดงคังรูปที่ 3.14 และ 3.15 และหาได้ว่า เอ็นไซม์เซลลูโลส I มีค่า $V_e/V_o = 1.21$ เซลลูโลส II มีค่า $V_e/V_o = 1.58$ คันน์เซลลูโลส I และ II จะมีมวลโนเมเลกุลประมาณ 232,000 และ 138,000 ตามลำดับ คังผลในตารางที่ 3.4



รูปที่ 3.14 แสดงการหา elution volume (V_e) ที่บาน Sepharose 6B column
ของ protein markers, เอ็นไซม์เชลตูเรส I และ II

— = Blue dextran (6 มก./มล.)

△—△ = Catalase (20 มก./มล.)

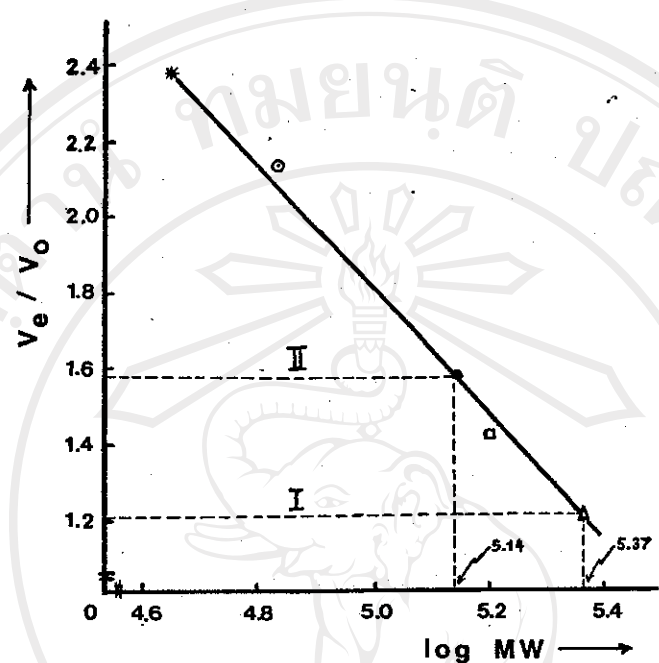
□—□ = Aldolase (20 มก./มล.)

○—○ = BSA (20 มก./มล.)

— = Ovalbumin (18 มก./มล.)

●—● = เชลตูเรส I (85 มก./มล.)

○—○ = เชลตูเรส II (80 มก./มล.)



รูปที่ 3.15 แสดง Standard curve ที่ใช้namวอลโนเมต์กูลของ
เอนไซม์เซลลูเลส I และ II โดยใช้ Sepharose 6B
column chromatography

- Δ , Catalase (20 mg./ml.)

- \square , Aldolase (20 mg./ml.)

- \circ , BSA (20 mg./ml.)

- *, Albumin (18 mg./ml.)

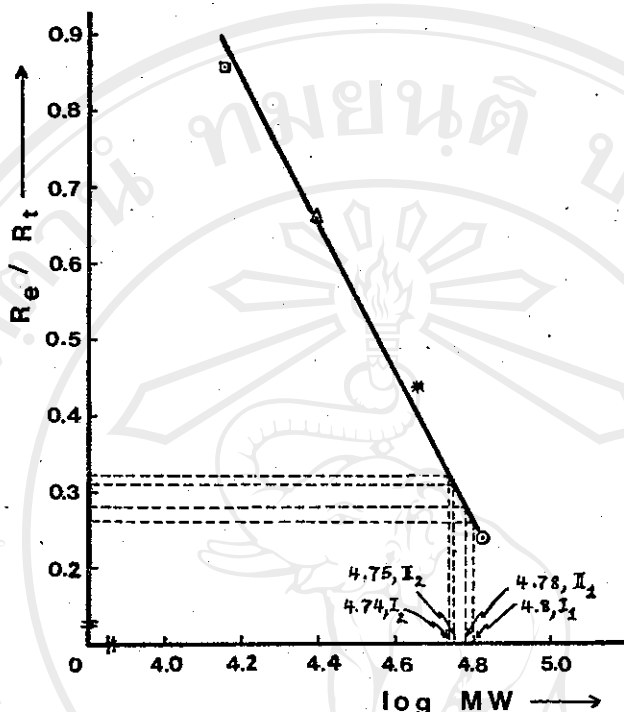
- ●, เซลลูเลส I (85 mg./ml.)

- ○, เซลลูเลส II (80 mg./ml.)

ตารางที่ 3.4 แสดงผลการหามวลโมเลกุลของเอ็นไซม์เชลลูโลสทั้งสองโดยใช้
Sephadex G-200 column

โปรตีน	MW	log MW	V _e (ml.)	V _e /V _o
Catalase	232,000	5.37	73.6	1.21
Aldolase	158,000	5.20	86.4	1.42
BSA	67,000	4.83	131.2	2.14
Ovalbumin	45,000	4.65	144.0	2.37
เอ็นไซม์เชลลูโลส I	232,000	5.37	73.6	1.21
เอ็นไซม์เชลลูโลส II	138,000	5.14	96.0	1.58

3.4.1.2 จากการทำ SDS-polyacrylamide disc gel electrophoresis ของเอ็นไซม์เชลลูโลส I (4 มิลิกรัม) และ II (8 มิลิกรัม) เทียบกับ protein markers คือ albumin (bovine plasma) ovalbumin , chymotrypsinogen และ lysozyme พบร้าเอ็นไซม์เชลลูโลส I และ II ทั้งใน 2 band ที่ใกล้เคียงกัน ซึ่งเมื่อหามูลโมเลกุลของแต่ละ band จาก standard curve รูปที่ 3.16 ให้ กรณีเชลลูโลส I; subunits มีมวลโมเลกุลเป็น 63,000 และ 55,000 ส่วนเชลลูโลส II ; subunits มีมวลโมเลกุลเป็น 61,000 และ 56,300



รูปที่ 3.16 แสดง standard curve ที่ใช้นามาโด้โนเดกูลชัน subunits
ของเชดดูเลส I และเชดดูเลส II ใน SDS-Polyacrylamide
gel electrophoresis

○, Bovine plasma albumin

*, Ovalbumin

△, Chymotrypsinogen

□, Lysozyme

ตารางที่ 3.5 ผลของการรวมวัตโน้มเดกูลของ subunits ของเอนไซม์
เชลลูเลส I และ II

โปรตีน	MW	log MW	Re (cm.)	* Re/Rt
Albumin (bovine plasma)	66,000	4.82	2.5	0.24
Ovalbumin	43,000	4.65	4.5	0.44
Chymotrypsinogen	25,000	4.4	6.8	0.66
Lysozyme	14,300	4.15	8.9	0.86
เชลลูเลส I
: band 1	63,000	4.8	2.7	0.26
: band 2	55,000	4.74	3.3	0.32
เชลลูเลส II
: band 1	61,000	4.78	2.85	0.28
: band 2	56,300	4.75	3.2	0.31

Re * = ระยะทางที่โปรตีนเคลื่อนที่ไปได้บนเจลโดยเริ่มจากขอบนลูกของ separating gel

Rt * = ระยะทางที่ tracking dye เคลื่อนที่ไปได้ = 10.3 มม.

3.4.2 ผลการหาปริมาณคาร์บอโนไซเดตรทในโนเมลกูลเอ็นไซม์เซลลูเลส I และ II

จากการใช้สารละลายน้ำออกไซด์ฟีโนอล (เข้มข้น 0.5 มก./มล.) จำนวน 2 มล. ผสมกับ 80 % phenol 0.1 มล. แล้วเติม H_2SO_4 เข้มข้น จำนวน 5 มล. ตั้งทิ้งไว้ 30 นาทีที่อุณหภูมิห้องแล้วนำไปวัดค่าการดูดกลืนแสงที่ 490 นาโนเมตร ได้ = 0.25 (ค่าเฉลี่ย) เมื่อเทียบจากรูปที่ 3.17 จะได้ว่า มีน้ำตาลอยู่ = 22.5 ในโครงร่าง หรือเท่ากับ 44 %

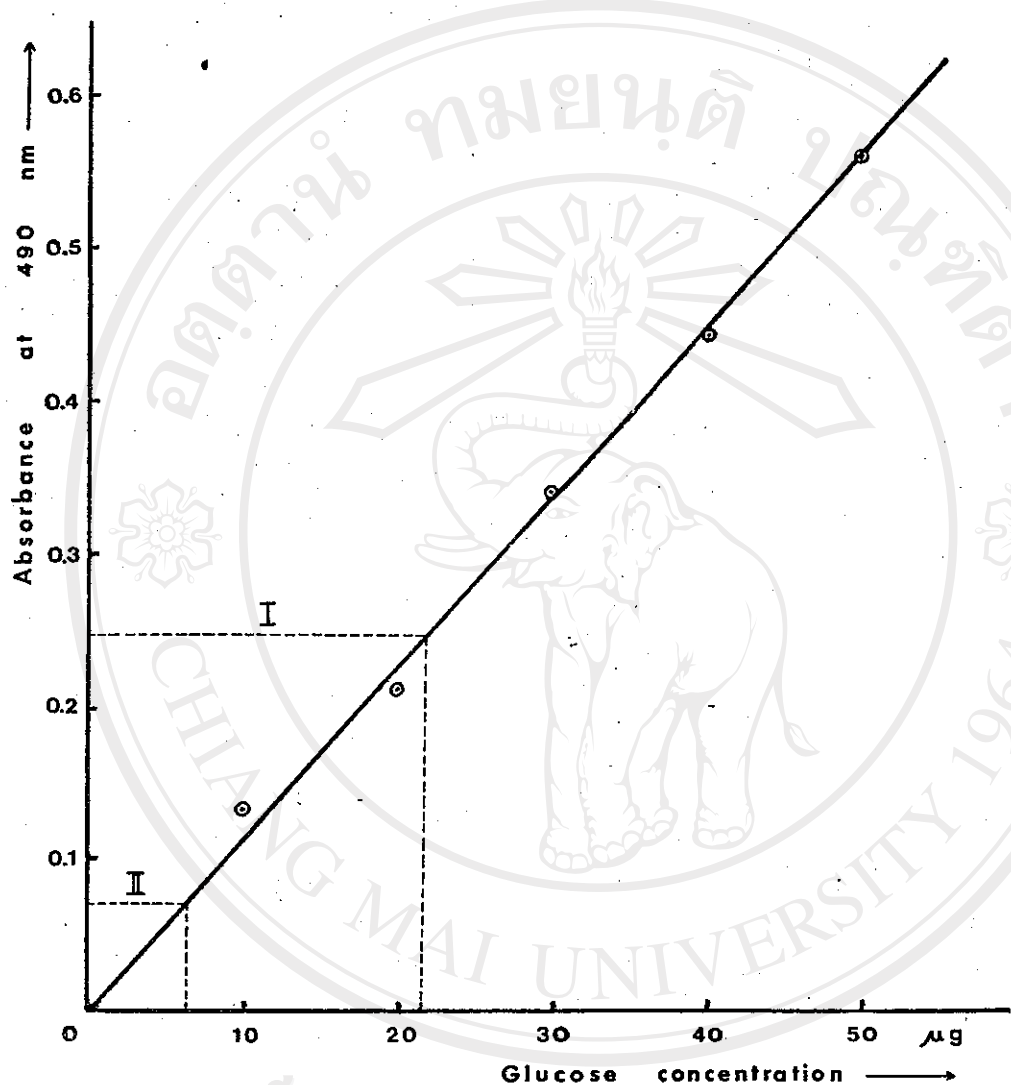
สารละลายน้ำออกไซด์ฟีโนอล II ที่ทำการทดลอง เช่นเดียวกัน
สรุปผลการทดลองแสดงในตารางที่ 3.6

ตารางที่ 3.6 แสดงผลการทดลองหาปริมาณคาร์บอโนไซเดตรทในโนเมลกูลเอ็นไซม์เซลลูเลส I และ II ที่เตรียมໄค์

เอ็นไซม์ เซลลูเลส	OD490			ปริมาณน้ำตาลใน รูปกลโคส (ในโครงร่าง)	% คาร์บอโนไซเดตรท
	1	2	เฉลี่ย		
I	0.28	0.23	0.25	22.5	4.4
II	0.07	0.065	0.068	6	1.2

ลิขสิทธิ์มหาวิทยาลัยเชียงใหม่
Copyright © by Chiang Mai University
All rights reserved

จากตารางข้างบน จะเห็นว่า เอ็นไซม์เซลลูเลสทั้ง 2 form เป็น glycoprotein โดยที่เอ็นไซม์เซลลูเลส I มีปริมาณน้ำตาลเป็นองค์ประกอบอยุ่มากกว่าในเอ็นไซม์เซลลูเลส II



รูปที่ 3.17 แสดง standard curve สำหรับใช้หาปริมาณการในไส้กรอกใน
เงื่อนไขน้ำแข็งดูไส้ I และ II

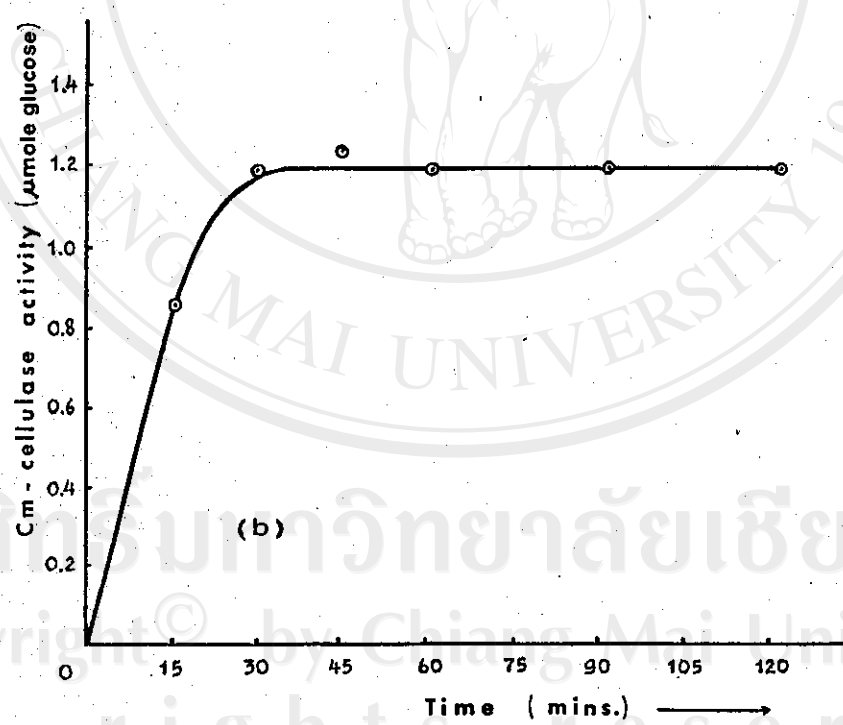
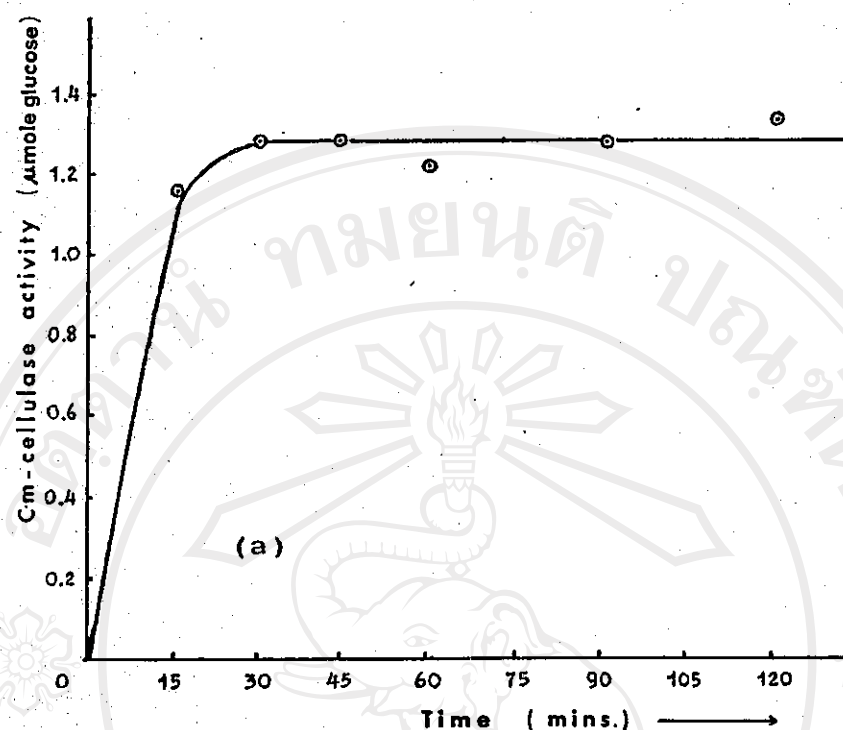
3.4.3 ผลของ incubation time ต่อ activity เอ็นไซม์เซลลูเลส I
และ II

เมื่อทำการ incubate เอ็นไซม์เซลลูเลสແຕลະ form กับสับสเตรท CMC ณ เวลาต่าง ๆ กัน คือ 15, 30, 45, 60, 90 และ 120 นาที แล้ววัดปริมาณกูโตกซี่ที่เกิดขึ้น ผลปรากฏว่า เมื่อ incubation time เพิ่มจาก 15 นาที ไปเป็น 30 นาที activity ของเซลลูเลสเพิ่มขึ้น แต่เมื่อใช้เวลาในการ incubate มากกว่า 30 นาทีขึ้นไปจนถึง 120 นาที activity ของเซลลูเลสยังไม่เปลี่ยนแปลง (รูปที่ 3.18 (a) + (b))

3.4.4 ผลของความเข้มข้นของเอ็นไซม์ต่อ activity ของเซลลูเลส I
และ II

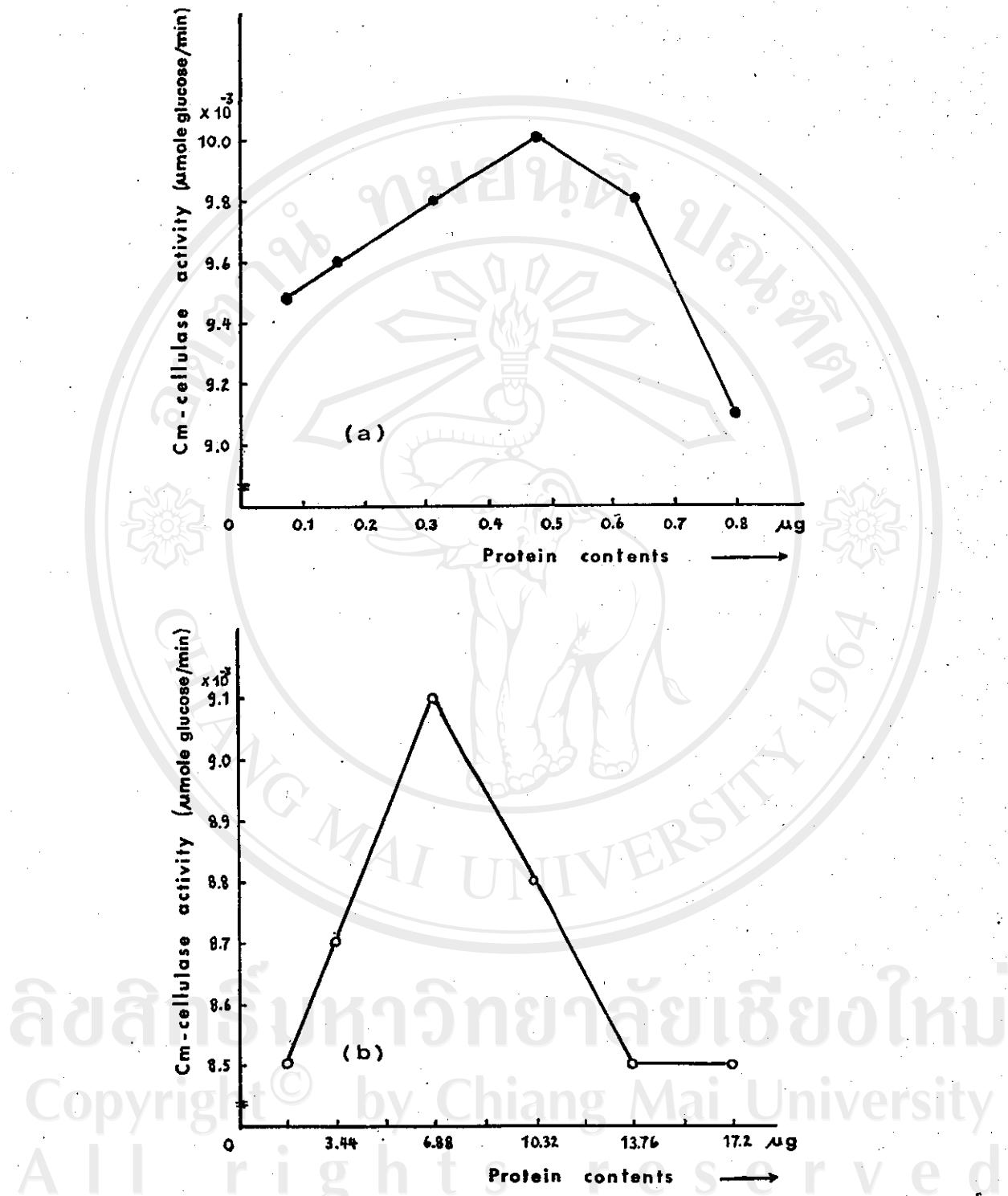
เมื่อ incubate เอ็นไซม์เซลลูเลสແຕลະ form กับสับสเตรทในเวลา 30 นาที โดยใช้ความเข้มข้นของเอ็นไซม์โปรดีนแทกต่างกัน แล้ววัด activity ของเอ็นไซม์ในแต่ละความเข้มข้น ให้ผลแสดงคงรูปที่ 3.19 (a) และ (b)

จากผลการทดลอง (ในรูปที่ 3.19 (a) และ (b) พบว่า activity เอ็นไซม์เซลลูเลส I จะเพิ่มขึ้นเมื่อความเข้มข้นของเอ็นไซม์โปรดีนเพิ่มขึ้นจนถึง 0.48 ในโปรแกรม จากนั้น activity ของเอ็นไซม์ลดลงจากความเข้มข้นของโปรดีนเป็น 0.48 ในโปรแกรม จากนั้น activity ของเอ็นไซม์เพิ่มขึ้นเมื่อความเข้มข้นเอ็นไซม์เพิ่มขึ้นจนถึงค่า 6.88 ในโปรแกรม แล้วมีค่าลดลงอย่างมาก การที่เป็นเช่นนี้ อาจจะเนื่องมาจากการที่ความเข้มข้นเอ็นไซม์สูง ๆ ไม่ledกุลของเอ็นไซม์เกิด associate กันทำให้ไม่สามารถเร่งการย่อยสลายสับสเตรทได้ก็เป็นได้



รูปที่ 3.18 แสดงผลของ incubation time ต่อ activity ของเอนไซม์
© Copyright by Chiang Mai University
All rights reserved

(a) ของเอนไซม์เซลลูโลส I และ (b) ของเอนไซม์เซลลูโลส II
เมื่อ incubate เอนไซม์กับ CMC ณ เวลาห่าง ๆ กันคือ
15, 30, 45, 60, 90 และ 120 นาที



รูปที่ 3.19 แสดงผลของความเข้มข้นของ เอ็นไซม์ก่อ activity ของเอ็นไซม์
 (a) ของเอ็นไซม์เซลลูโลส I และ (b) ของเอ็นไซม์เซลลูโลส II

3.4.5 ผลของอุณหภูมิต่อการทำงานของเอนไซม์เซลลูเลส I และ II

3.4.5.1 Optimum temperature

จากรูปที่ 3.20, เอนไซม์เซลลูเลส I ทำงานได้ดีที่สุด ณ อุณหภูมิ 45°C ในขณะที่เซลลูเลส II ทำงานได้ดีที่สุด ณ 50°C . เมื่อ incubate 30 นาที

ที่อุณหภูมิสูงกว่า 50°C . ขึ้นไป พนิช activity ของเอนไซม์ในรูป form I หรือ II จะลดลงอย่างรวดเร็ว เช่นที่ 55°C . activity ของเซลลูเลส I เป็น 36.5% ของที่ 45°C . และ activity ของเซลลูเลส II จะเป็น 44.5% ของที่ 50°C . เป็นทัน

3.4.5.2 Thermal stability

ผลแสดงคั่งรูปที่ 3.21 เอ็นไซม์เซลลูเลสทั้ง 2 form ก่อนเข้าหorno ความร้อนจนถึงอุณหภูมิ 50°C . ณ อุณหภูมิ $> 50^{\circ}\text{C}$. activity ของเอนไซม์จะลดลงอย่างรวดเร็วที่ 65°C . activity ของเอนไซม์แบบจะไม่มีเหลืออยู่เลย จะเห็นได้ว่าเอนไซม์เซลลูเลสทั้ง 2 form มีความคงทนต่อความร้อนเช่นเดียวกัน

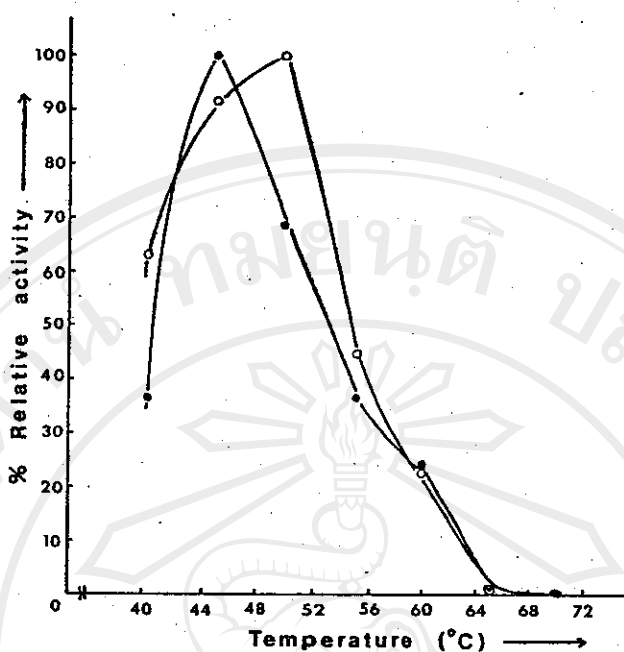
3.4.6 ผลของ pH ต่อการทำงานของเอนไซม์เซลลูเลส I และ II

3.4.6.1 Optimum pH

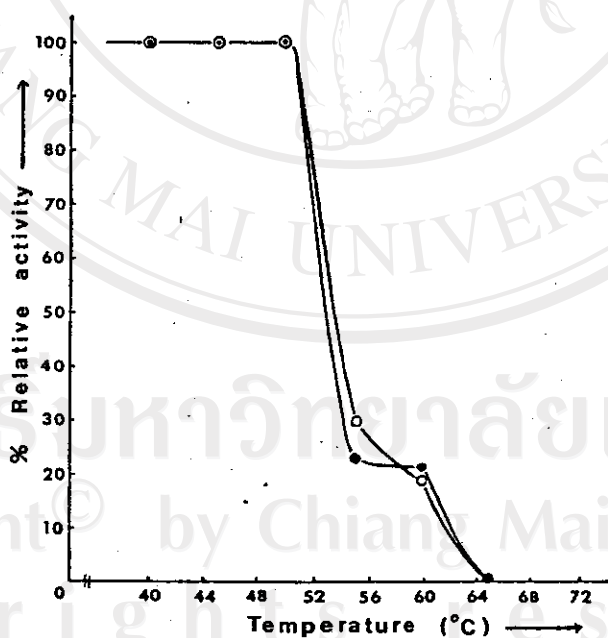
pH ที่เหมาะสมในการทำงานของเอนไซม์เซลลูเลส I และ II แตกต่างกันโดยที่เซลลูเลส II มีการทำงานดีที่สุดเฉพาะที่ pH 4.0 ในขณะที่เอนไซม์เซลลูเลส I สามารถทำงานได้ดี ณ ช่วง pH 4.0-6.0 (คั่งรูปที่ 3.22) นั่นก็คือ เซลลูเลส I มีช่วง pH ที่เหมาะสมในการทำงานกว้างกว่าเซลลูเลส II

3.4.6.2 pH stability

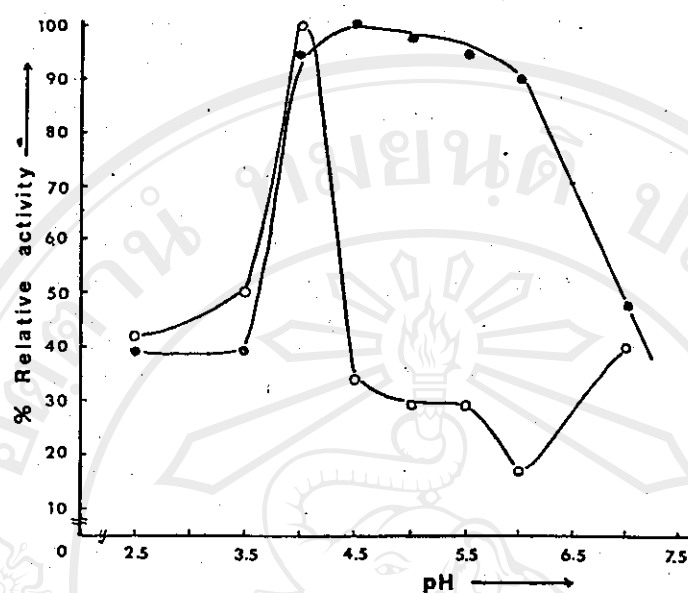
จากรูปที่ 3.23, เอ็นไซม์เซลลูเลสทั้ง 2 form นี้ มีเสถียรสภาพสูงสุดเมื่ออยู่ในสารละลายน้ำฟอฟอร์ที่มี pH 2.5-6.0 (สภาพเป็นกรด) ซึ่งเป็นช่วงกว้างที่เดียว แต่เมื่ออยู่ในสารละลายน้ำฟอฟอร์ pH สูงกว่า 6.0 ขึ้นไป activity ของเอนไซม์จะลดลง เช่น ที่ pH 7.0, activity ของเอนไซม์เซลลูเลส I



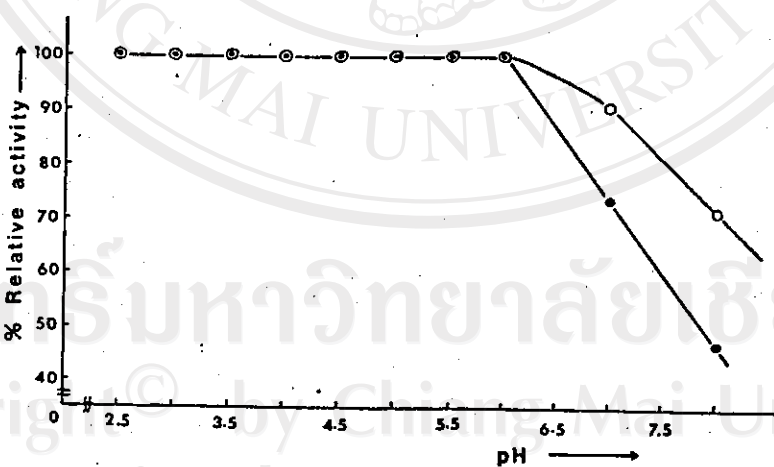
รูปที่ 3.20 แสดงอุณหภูมิที่เหมาะสมในการทำงานของเย็นไนน์
เชลลูลาส I (●) และเชลลูลาส II (○)



รูปที่ 3.21 แสดงความทนทานของอุณหภูมิของเย็นไนน์เชลลูลาส I (●)
และเชลลูลาส II (○)



รูปที่ 3.22 แสดง pH ที่เหมาะสมในการทำงานของเอนไซม์เซลลูเลส I (●)
และเซลลูเลส II (○)



รูปที่ 3.23 แสดงความคงทนของ pH ของเอนไซม์เซลลูเลส I (●)
และเซลลูเลส II (○) โดยที่ 100 % Relative activity
มีค่าเป็น 76 % ของ cellulase activity ทั้งหมด

จะเห็นว่าเพียง 73.3% ของที่ pH 6.0 ส่วน activity ของเซลลูโลส II เหลืออยู่ 90.9% เป็นตน จะเห็นว่าเซลลูโลส I มีการลดลงของ activity ตามที่ pH ที่เพิ่มขึ้น (สูงกว่า 6.0 ขึ้นไป) ได้มากกว่าการณ์เซลลูโลส II โดยที่ 100% Relative activity มีค่าเป็น 76% ของ cellulase activity ทั้งหมด

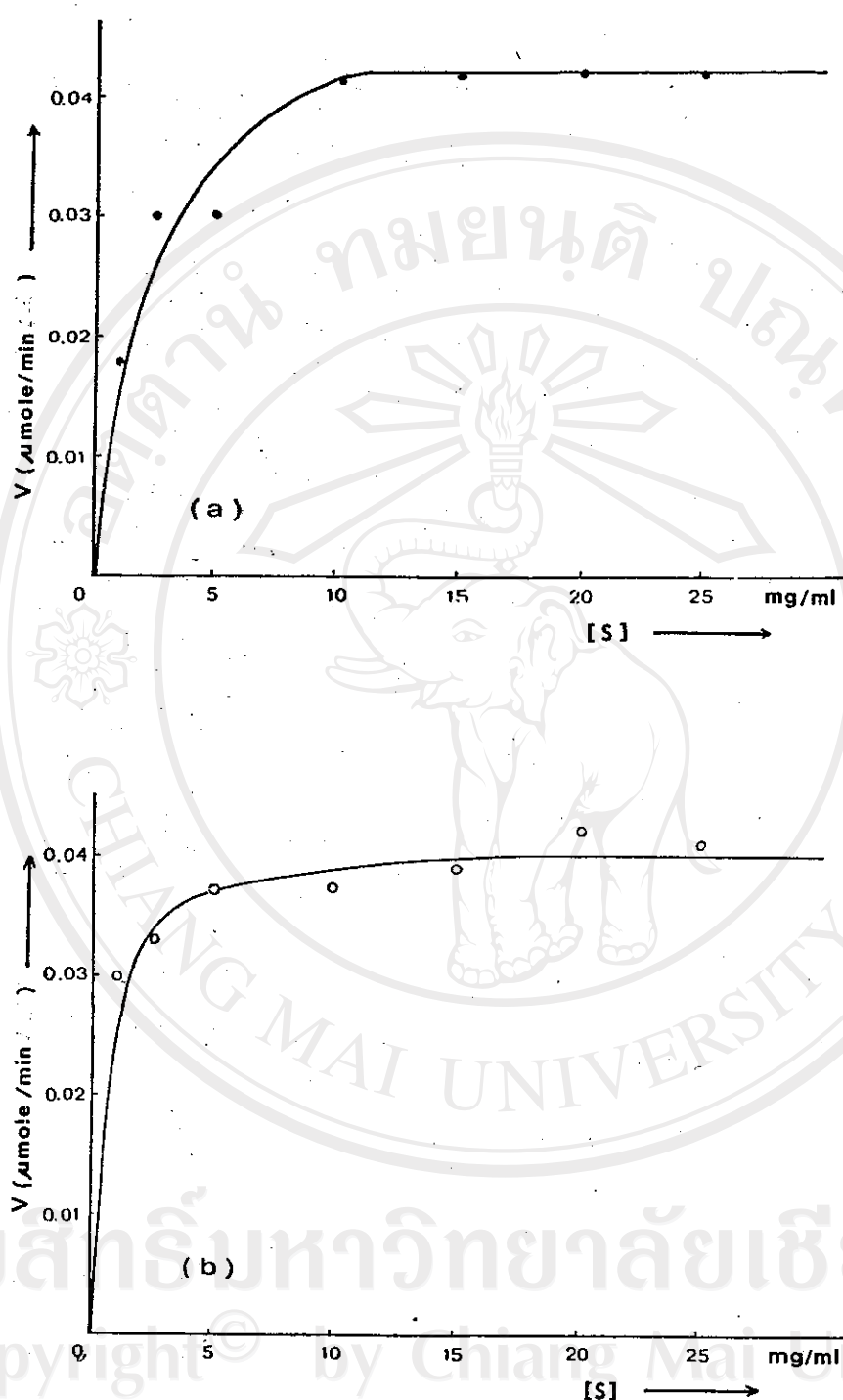
3.4.7 ผลการหาค่า K_m และ V_{max} ของเอ็นไซม์เซลลูโลส I และ II

จากการ incubate เอ็นไซม์เซลลูโลส (เข้มข้น 4 mg./ml.) แต่ละ form กับ CMC ความเข้มข้นต่าง ๆ กันคือ 0.1, 0.25, 0.5, 1.0, 1.5, 2.0 และ 2.5% เป็นเวลา 30 นาที คำนวณ activity ของเอ็นไซม์ และเมื่อนำไปพลอตกราฟระหว่าง activity, $\mu\text{mole}/\text{min}$ และความเข้มข้นของสับสเตรท, $[S]$ (mg/ml) ให้ผลลัพธ์ดังรูปที่ 3.24 (a) + (b)

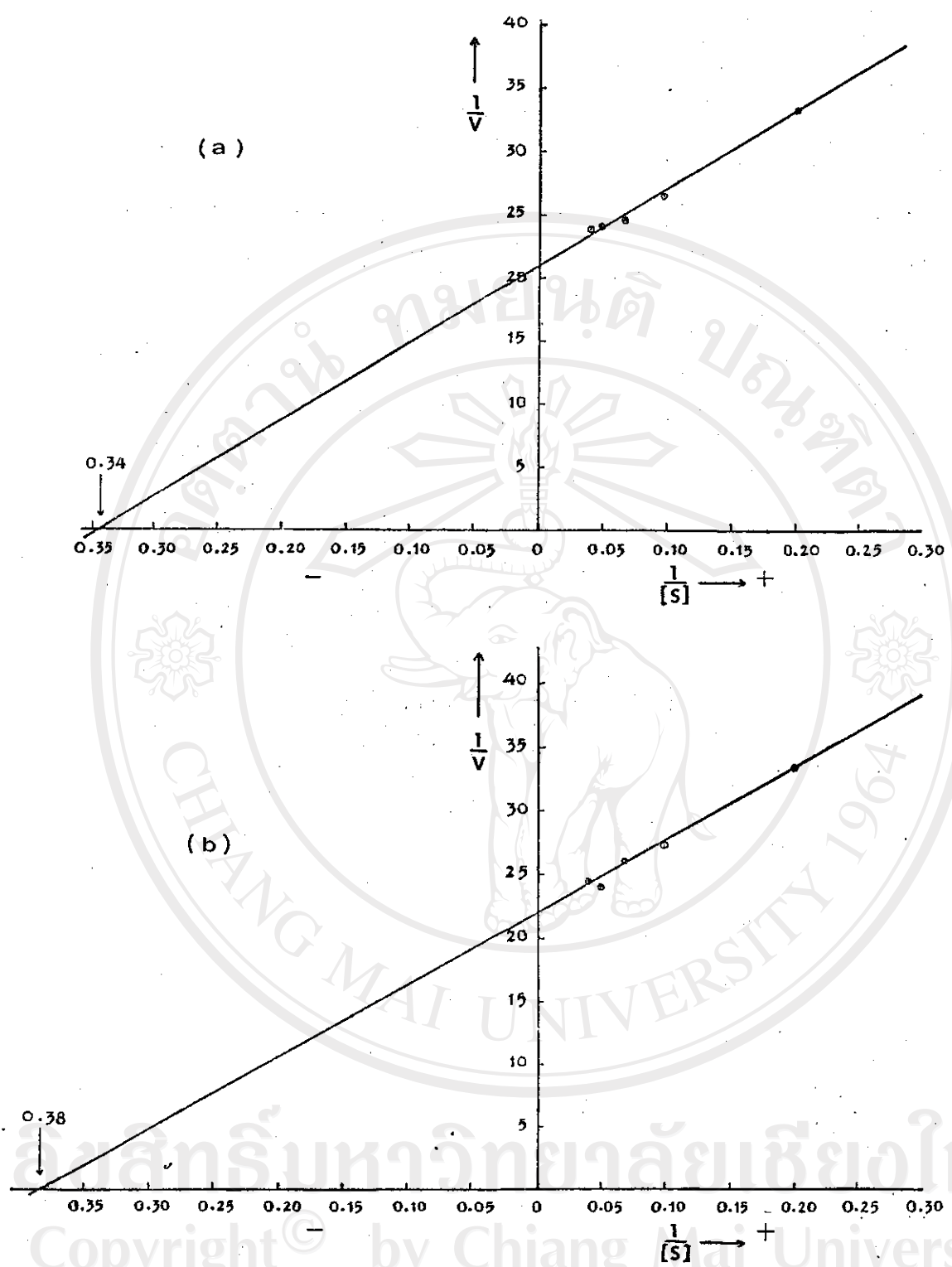
เมื่อทำ Line-weaver-Burk plots ตามตารางที่ 3.7 ให้ผลลัพธ์ในรูปที่ 3.25 (a) และ (b)

ตารางที่ 3.7 แสดงค่า V และ $\frac{1}{V}$ ของเอ็นไซม์เซลลูโลส I และ II ณ ความเข้มข้นทาง ๆ ของ CMC

สับสเตรท [S], mg/ml	$\frac{1}{[S]}$	เซลลูโลส I		เซลลูโลส II	
		$V, \mu\text{mole}/\text{min}$	$\frac{1}{V}$	$V, \mu\text{mole}/\text{min}$	$\frac{1}{V}$
2.5	25	0.04	0.042	23.8	0.041
2.0	20	0.05	0.042	23.8	0.042
1.5	15	0.067	0.041	24.4	0.039
1.0	10	0.1	0.039	25.6	0.037
0.5	5	0.2	0.030	33.3	0.031
0.25	2.5	0.4	0.030	33.3	0.030
0.1	1.	1.0	0.018	55.6	0.030



รูปที่ 3.24 แสดงความสัมพันธ์ระหว่าง activity ของเอนไซม์เชลลูโลส กับความเข้มข้นทาง ๆ ของ CMC
 (a) ของเอนไซม์เชลลูโลส I และ (b) ของเอนไซม์เชลลูโลส II



รูปที่ 3.25 แมสก์ Line-weaver-Burk plots ระหว่าง $\frac{1}{V}$ กับ $\frac{1}{S}$

(a) ของเอนไซม์เชอคุเรส I และ

(b) ของเอนไซม์เชอคุเรส II

จากรูปที่ 3.25 (a) และ (b)

เอ็นไซม์เซลลูเลส I : Km มีค่า = 2.94 มก./ml.

$$V_{max} = 0.048 \mu\text{mole/min}$$

เอ็นไซม์เซลลูเลส II : Km มีค่า = 2.63 มก./ml.

$$V_{max} = 0.046 \mu\text{mole/min}$$

3.4.8 ผลของโลหะอ่อนและ chelating compound ต่อการทำงานของเอ็นไซม์

เซลลูเลส I และ II

ผลการทดลองแสดงถึงตารางที่ 3.8 ชี้งผลปรากฏว่า โลหะอ่อนส่วนมาก ($10^{-3} M$) มีผลบั่นยั้งการทำงานของเอ็นไซม์ทั้ง 2 form ยกเว้น $Mn^{2+}(10^{-2} M)$, $Co^{2+}(10^{-3} M)$ ซึ่งมีผลกระทบต่อการทำงานของเอ็นไซม์สองให้เพิ่มขึ้นจากเดิม Ni^{2+} และ Mg^{2+} แทนจะไม่มีผลกระทบต่อ activity ของเอ็นไซม์เซลลูเลส I และ II

เมื่อเติม EDTA (chelating compound) ความเข้มข้น $10^{-3} M$, พบร้า activity ของเอ็นไซม์ลดลง 100% และกว่าในโมเลกุลเอ็นไซม์ส่วนที่เร่งปฏิกิริยาทองมีโลหะอ่อนอยู่ภายในโมเลกุลของเอ็นไซม์ยัง含有จะมี SH group อยู่ในส่วน active site เมื่อเติมโลหะหนัก : $Ag^{2+}(10^{-2} M)$, $Hg^{2+}(10^{-4} M)$ ลงไป activity ของเอ็นไซม์ลดลง 100% (สารละลายเอ็นไซม์เกิดตะกอนขึ้นขาวขึ้น) โลหะหนักไปแทนที่ H ใน SH group เป็น En. -S-Ag (หรือ Hg)

ตารางที่ 3.8 ผลของโลหะอ่อนต่างๆ และ chelating compound ต่อการทำงาน
ของเอนไซม์เชลลูเจส I และ II

โลหะอ่อนหรือ Chelating Compound	ความเข้มข้นของโลหะอ่อน (final concentration) (M)	เชลลูเจส I % activity ที่เพิ่มขึ้น หรือ ลดลง	เชลลูเจส II % activity ที่เพิ่มขึ้น หรือ ลดลง
Mn^{2+}	10^{-2}	+50	+50
	10^{-3}	0	0
	10^{-4}	0	0
Mg^{2+}	10^{-2}	0	-50
	10^{-3}	0	0
	10^{-4}	0	0
Fe^{3+}	10^{-2}	-100	-100
	10^{-3}	-100	-52
	10^{-4}	-60	-29
Co^{2+}	10^{-2}	+52	+51
	10^{-3}	+40	+24
	10^{-4}	0	0
Cu^{2+}	10^{-2}	-100	-71.4
	10^{-3}	-50	-50
	10^{-4}	0	0
Ni^{2+}	10^{-2}	0	0
	10^{-3}	0	0
	10^{-4}	0	0
Ag^+	10^{-2}	-100	-100
	10^{-3}	-40	-78
	10^{-4}	0	0

ตารางที่ 3.8 (ต่อ)

โลหะอิโอน หรือ Chelating Compound	ความเข้มข้นของโลหะอิโอน (final concentration) (M)	เซลล์เดส I % activity ที่เพิ่มขึ้น หรือ ⁺ ลดลง	เซลล์เดส II % activity ที่เพิ่มขึ้น หรือ ⁺ ลดลง
Hg	10^{-2}	-100	-100
	10^{-3}	-100	-100
	10^{-4}	-100	-100
EDTA	10^{-2}	-100	-100
	10^{-3}	-100	-100
	10^{-4}	0	0
β -mercaptoethanol	10^{-2}	0	0
	10^{-3}	0	0
	10^{-4}	0	0

เครื่องหมาย + : เพิ่มขึ้น
- : ลดลง

3.4.9 ผลการศึกษาการทำงานร่วมกันของเอ็นไซม์เซลลูเลส I และ II

3.4.9.1 การทำงานร่วมกันของเซลลูเลส I และ II ต่อ CMC ผลการทดลอง
แสดงดังตารางที่ 3.9

ตารางที่ 3.9 แสดงการทำงานร่วมกันของเซลลูเลส I และ II ต่อ CMC

เอ็นไซม์เซลลูเลส	activity (unit/ml)
1. เซลลูเลส I 0.32 ในโตรกรัม	3.0×10^{-3}
	6.7×10^{-3}
2. เซลลูเลส II 6.8 ในโตรกรัม 13.6 ในโตรกรัม	4.8×10^{-3}
	8.1×10^{-3}
3. I + II 6.92 ในโตรกรัม	8.1×10^{-3}

จากตารางที่ 3.9 จะเห็นได้ว่าเอ็นไซม์แต่ละ form เมื่อเพิ่มความเข้มข้น
เอ็นไซม์เป็น 2 เท่า activity เพิ่มประมาณ 2 เท่าด้วย แต่เมื่อ incubate
เอ็นไซม์ผสม (I + II) กับ CMC พบร้า activity ของเอ็นไซม์สมมูลค่า=activity
ของเอ็นไซม์แต่ละ form รวมกัน ซึ่งไม่เป็นแบบ Synergistic action ทว่า
activity ของเอ็นไซม์สมมูลค่าสูงกว่า activity ของเอ็นไซม์แต่ละ form
รวมกัน

3.4.9.2 การทำงานร่วมกันของเซลลูเลส I และ II ต่อกระดาษกรอง

เมื่อ incubate เอ็นไซม์เซลลูเลสแท็คทีนิกับกระดานกรองที่อุณหภูมิห้องเป็นเวลา 7 วันโดยไม่มีการเขย่า พนava ไม่เกิดการย่อยสลายกระดานกรองเลย แต่เมื่อใช้สารละลายเอ็นไซม์พสม (I + II) พนava มีเส้นใยอิสระเกิดขึ้น และสังเกตพบนำทางในรูปกราฟโคสจากาการวัดโดย DNS-method แสดงว่า เอ็นไซม์เซลลูเลส I และ II มีแนวโน้มที่จะทำงานร่วมกันในการย่อยสลายกระดานกรอง



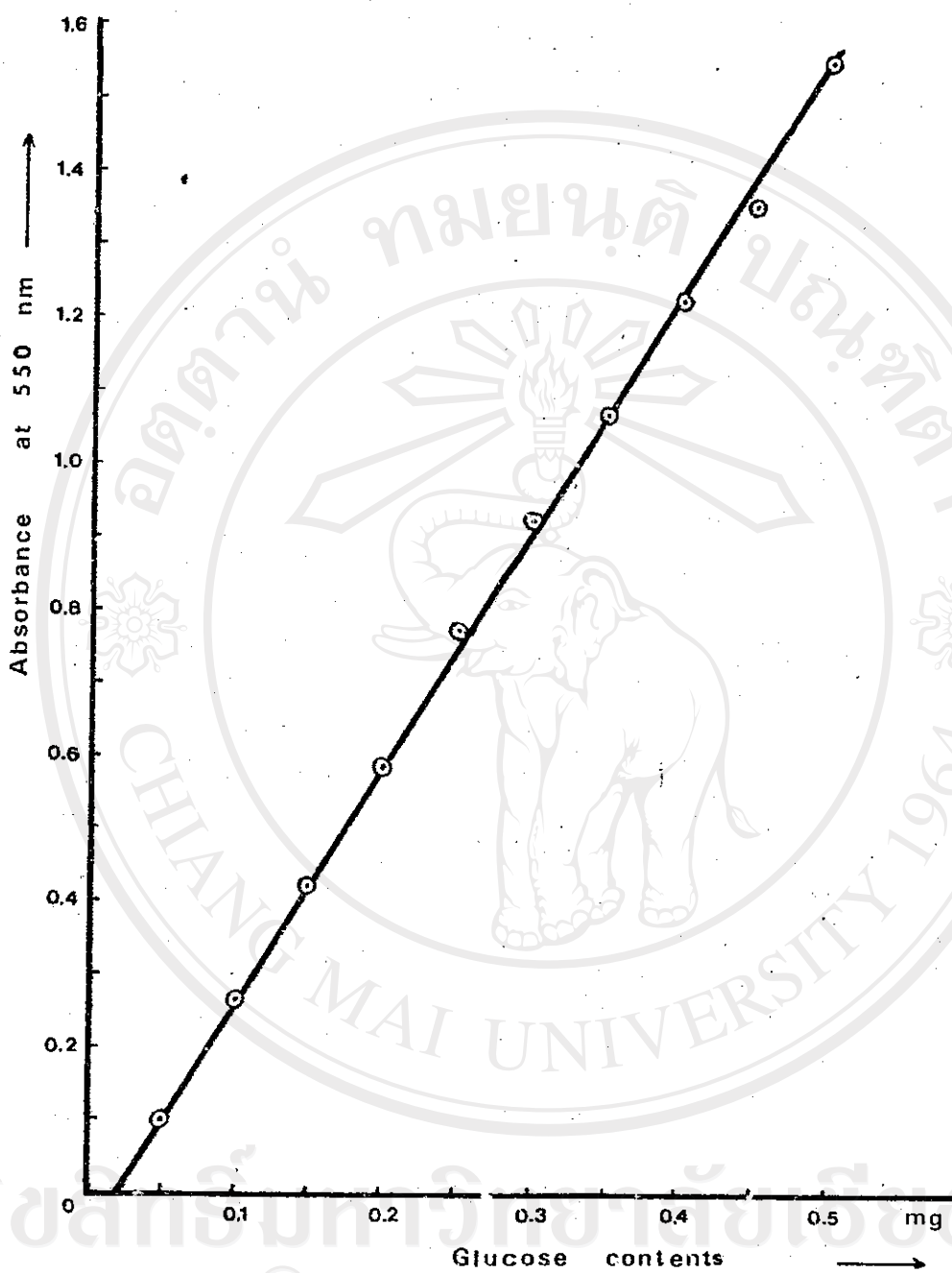
ลิขสิทธิ์มหาวิทยาลัยเชียงใหม่
Copyright © by Chiang Mai University
All rights reserved

สรุป สมบัติบางประการของเอนไซม์เชคคูเลส I และ II ได้ดังตารางที่ 3.10

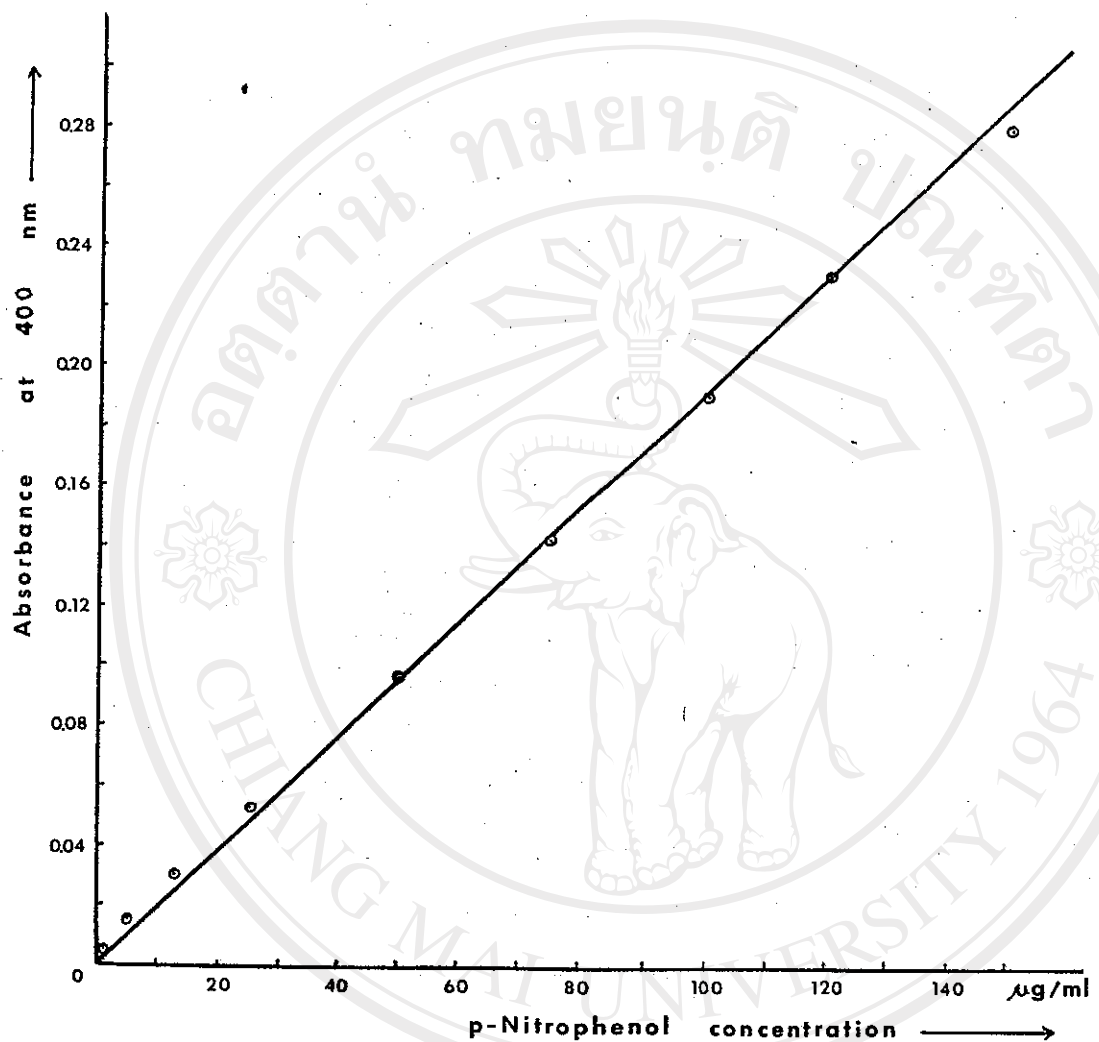
ตารางที่ 3.10 แสดงสมบัติบางประการของเชคคูเลส I และ II ที่เตรียมได้

	เชคคูเลส I	เชคคูเลส II
มวลโมเลกุล, subunits	232,000 tetramer	138,000 dimer
pH ที่เหมาะสมที่สุดในการทำงาน	4.0-6.0	4.0
ความคงทนต่อ pH (15 ชม, 18 °C)	≤ 6.0	≤ 6.0
อุณหภูมิที่เหมาะสมที่สุดในการทำงาน (°C.)	45	50
ความทนทานต่ออุณหภูมิ (°C.) (10 นาที)	≤ 50, completely inactivated at 65°C	≤ 50, completely inactivated at 65°C
K _m (มก./มล.)	2.9	2.6
V _{max} (μ mole/min)	0.048	0.046
ผลของโลหะอิโอน (2 นาที)	ถูกยับยั้งโดย Ag ⁺ , Hg ²⁺ , Fe ³⁺ และ Cu ²⁺ ถูกกระตุนโดย Mn ²⁺ และ Co ²⁺	ถูกยับยั้งโดย Ag ⁺ , Hg ²⁺ , Fe ³⁺ , Cu ²⁺ และ Mg ²⁺ ถูกกระตุนโดย Mn ²⁺ และ Co ²⁺

Copyright © by Chiang Mai University
All rights reserved

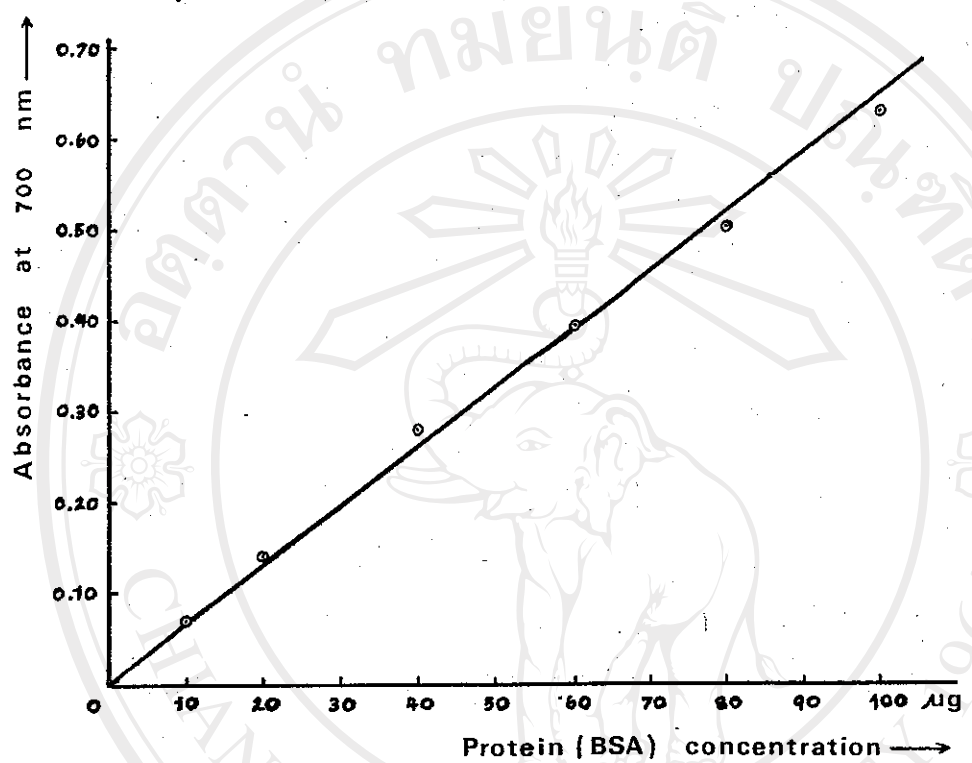


รูปที่ 3.26 แสดง standard curve สำหรับวิธีวินาถ์การในน้ำปักกูโคลส
โดย Dinitrosalicylic acid reagent method(DNS-method)



รูปที่ 3.27 แสดง standard curve สำหรับใช้หาปริมาณ p-nitrophenol

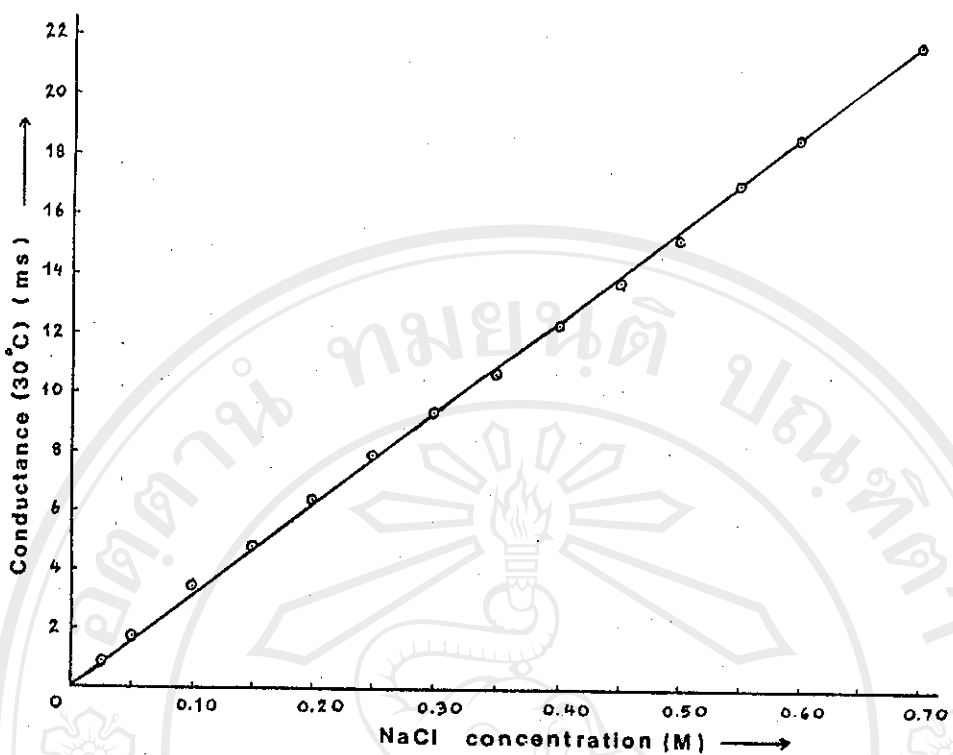
ที่เกิดขึ้น (β -glucosidase activity assay)



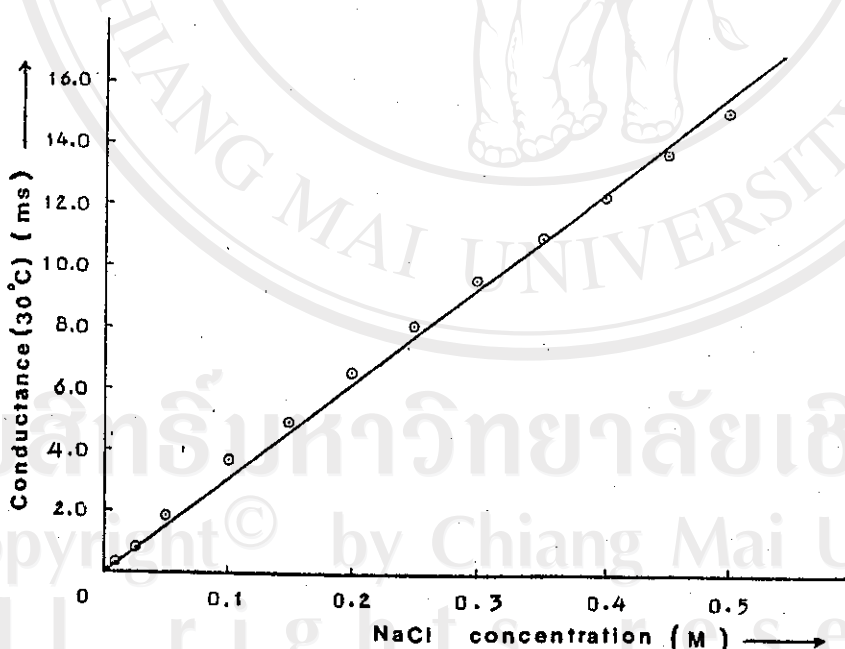
รูปที่ 3.28 แสดง standard curve สำหรับปริมาณโปรตีน

โดย Modified-Lowry method

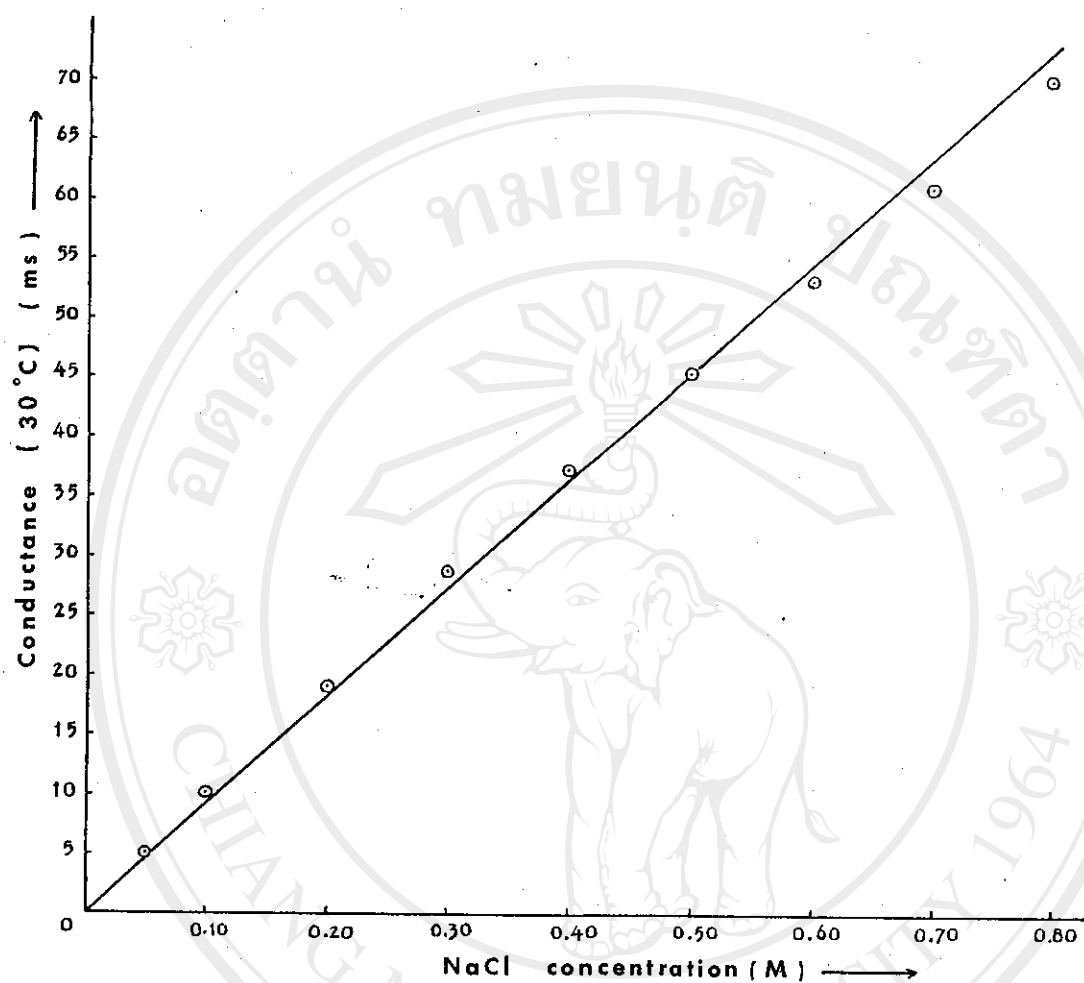
อิชลินหนาวิทยาลัยเชียงใหม่
 Copyright[©] by Chiang Mai University
 All rights reserved



รูปที่ 3.29 แสดง standard curve สำหรับใช้หาปริมาณ NaCl เมื่อใช้ 0.05 M sodium citrate buffer pH 4.8 เป็นตัวทำละลาย



รูปที่ 3.30 แสดง standard curve สำหรับใช้หาปริมาณ NaCl เมื่อใช้ 0.05 M sodium citrate buffer pH 5.8 เป็นตัวทำละลาย



รูปที่ 3.31 แสดง standard curve สำหรับปริมาณ NaCl เมื่อใช้ 25 mM Tris-HCl buffer pH 7.5 เป็นพื้นที่ทำละลาย

ลิขสิทธิ์ของมหาวิทยาลัยเชียงใหม่
Copyright © by Chiang Mai University
All rights reserved